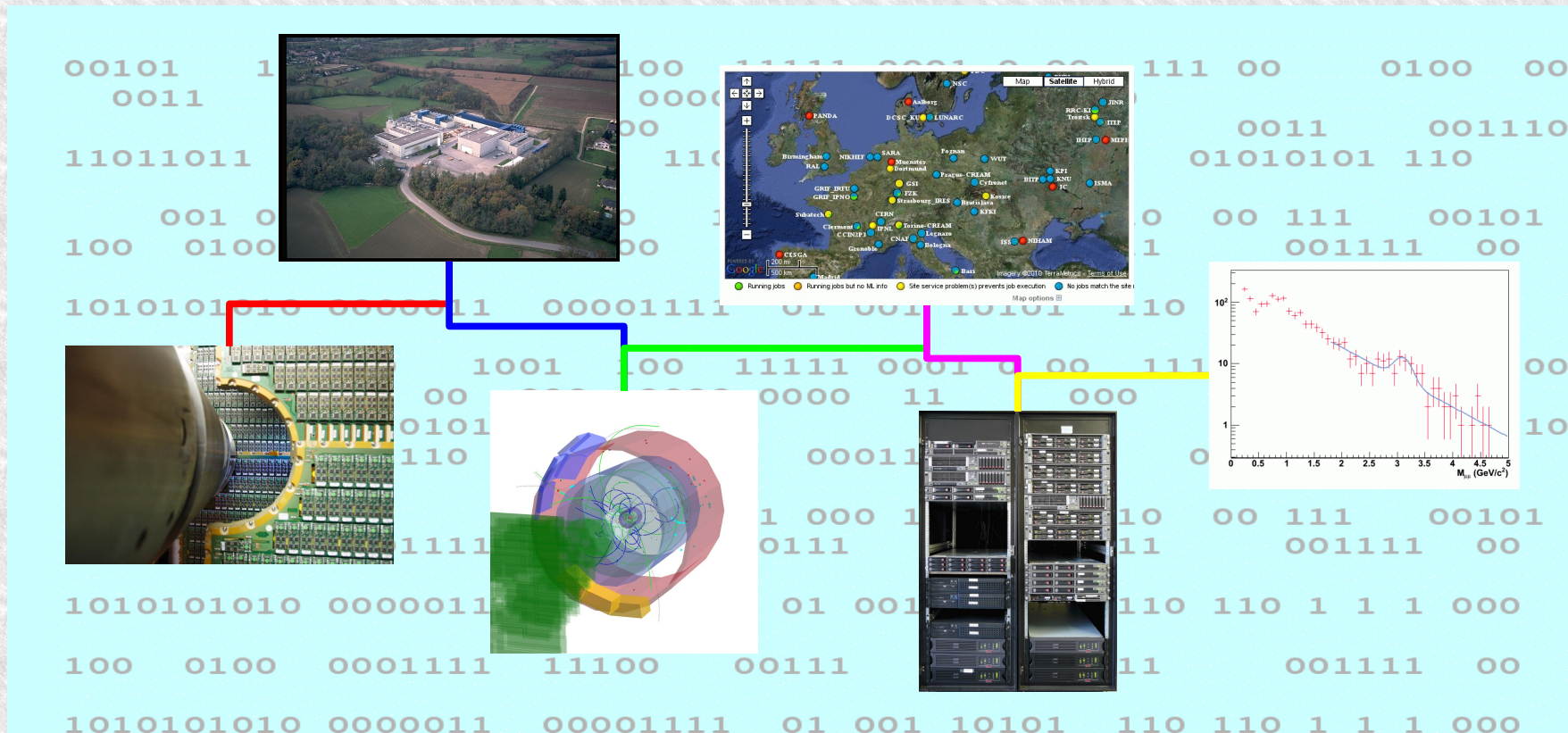




ALICE

Une expérience en physique des particules: des données expérimentales aux résultats scientifiques



Bogdan Vulpescu

LPC - Service Informatique, pour le groupe ALICE

Séminaire Mini AG, 01.12.2011

Le plan

- **la physique: pourquoi étudier la matière nucléaire dans des collisions à très hautes énergies ?**
- **la technologie: comment accélérer des particules, les faire collisionner et enregistrer les résultats des phénomènes qui se produisent ?**
Où ? C.E.R.N. = Conseil Européen pour la Recherche Nucléaire
- **l'informatique: comment collecter, transporter, stocker et analyser des volumes immenses de données ?**
Où ? WLCG = Worldwide LHC Computing Grid = ~130 centres de calcul dans ~34 pays = 100 000 processeurs (+ stockage)

La Physique

- 1) le Modèle Standard des particules élémentaires**
- 2) la diagramme de phase de la matière nucléaire**
- 3) l'argument de la cosmologie (les origines de l'Univers)**

Standard Model of FUNDAMENTAL PARTICLES AND INTERACTIONS

The Standard Model summarizes the current knowledge in Particle Physics. It is the quantum theory that includes the theory of strong interactions (quantum chromodynamics or QCD) and the unified theory of weak and electromagnetic interactions (electroweak). Gravity is included on this chart because it is one of the fundamental interactions even though not part of the "Standard Model."

FERMIONS

matter constituents
spin = 1/2, 3/2, 5/2, ...

Leptons spin = 1/2		
Flavor	Mass GeV/c ²	Electric charge
ν_e electron neutrino	$<1 \times 10^{-8}$	0
e electron	0.000511	-1
ν_μ muon neutrino	<0.0002	0
μ muon	0.106	-1
ν_τ tau neutrino	<0.02	0
τ tau	1.7771	-1

Quarks spin = 1/2		
Flavor	Approx. Mass GeV/c ²	Electric charge
u up	0.003	2/3
d down	0.006	-1/3
c charm	1.3	2/3
s strange	0.1	-1/3
t top	175	2/3
b bottom	4.3	-1/3

Spin is the intrinsic angular momentum of particles. Spin is given in units of \hbar , which is the quantum unit of angular momentum, where $\hbar = h/2\pi = 6.58 \times 10^{-25}$ GeV s = 1.05×10^{-34} J s.

Electric charges are given in units of the proton's charge. In SI units the electric charge of the proton is 1.60×10^{-19} coulombs.

The **energy** unit of particle physics is the electronvolt (eV), the energy gained by one electron in crossing a potential difference of one volt. **Masses** are given in GeV/c² (remember $E = mc^2$), where 1 GeV = 10^9 eV = 1.60×10^{-10} joule. The mass of the proton is 0.938 GeV/c² = 1.67×10^{-27} kg.

BOSONS

force carriers
spin = 0, 1, 2, ...

Unified Electroweak spin = 1		
Name	Mass GeV/c ²	Electric charge
γ photon	0	0
W^-	80.4	-1
W^+	80.4	+1
Z^0	91.187	0

Strong (color) spin = 1		
Name	Mass GeV/c ²	Electric charge
g gluon	0	0

Color Charge

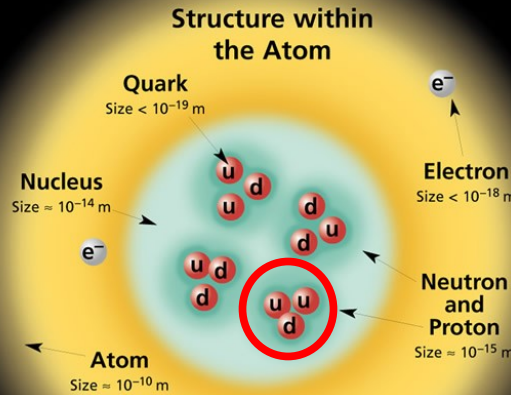
Each quark carries one of three types of "strong charge," also called "color charge." These charges have nothing to do with the colors of visible light. There are eight possible types of color charge for gluons. Just as electrically-charged particles interact by exchanging photons, in strong interactions color-charged particles interact by exchanging gluons. Leptons, photons, and W and Z bosons have no strong interactions and hence no color charge.

Quarks Confined in Mesons and Baryons

One cannot isolate quarks and gluons; they are confined in color-neutral particles called **hadrons**. This confinement (binding) results from multiple exchanges of gluons among the color-charged constituents. As color-charged particles (quarks and gluons) move apart, the energy in the color-force field between them increases. This energy eventually is converted into additional quark-antiquark pairs (see figure below). The quarks and antiquarks then combine into hadrons; these are the particles seen to emerge. Two types of hadrons have been observed in nature: **mesons** $q\bar{q}$ and **baryons** qqq .

Residual Strong Interaction

The strong binding of color-neutral protons and neutrons to form nuclei is due to residual strong interactions between their color-charged constituents. It is similar to the residual electrical interaction that binds electrically neutral atoms to form molecules. It can also be viewed as the exchange of mesons between the hadrons.



If the protons and neutrons in this picture were 10 cm across, then the quarks and electrons would be less than 0.1 mm in size and the entire atom would be about 10 km across.

PROPERTIES OF THE INTERACTIONS

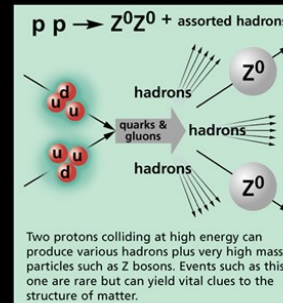
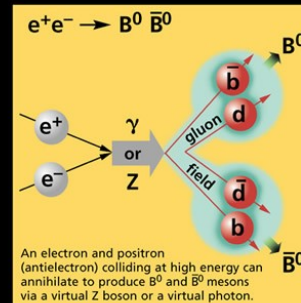
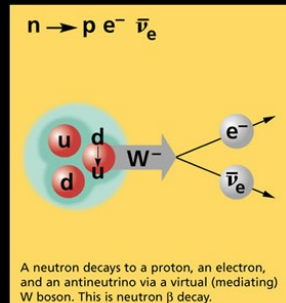
Baryons qqq and Antibaryons $\bar{q}\bar{q}\bar{q}$					
Baryons are fermionic hadrons. There are about 120 types of baryons.					
Symbol	Name	Quark content	Electric charge	Mass GeV/c ²	Spin
p	proton	uud	1	0.938	1/2
\bar{p}	anti-proton	$\bar{u}\bar{u}\bar{d}$	-1	0.938	1/2
n	neutron	udd	0	0.940	1/2
Λ	lambda	uds	0	1.116	1/2
Ω^-	omega	sss	-1	1.672	3/2

Matter and Antimatter

For every particle type there is a corresponding antiparticle type, denoted by a bar over the particle symbol (unless + or - charge is shown). Particle and antiparticle have identical mass and spin but opposite charge. Some electrically neutral bosons (e.g., Z^0 , γ , and $\eta_c = c\bar{c}$, but not $K^0 = d\bar{s}$) are their own antiparticles.

Figures

These diagrams are an artist's conception of physical processes. They are **not** exact and have **no** meaningful scale. Green shaded areas represent the cloud of gluons or the gluon field, and red lines the quark paths.



The Particle Adventure

Visit the award-winning web feature *The Particle Adventure* at <http://ParticleAdventure.org>

This chart has been made possible by the generous support of:

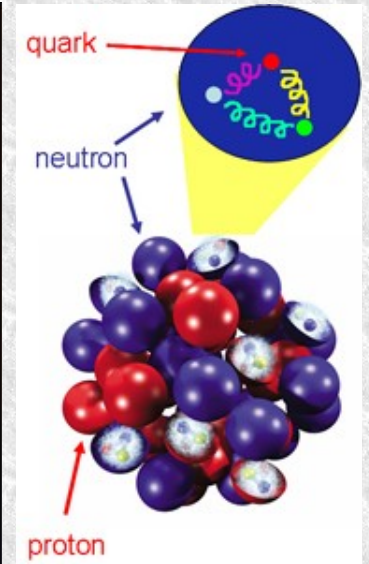
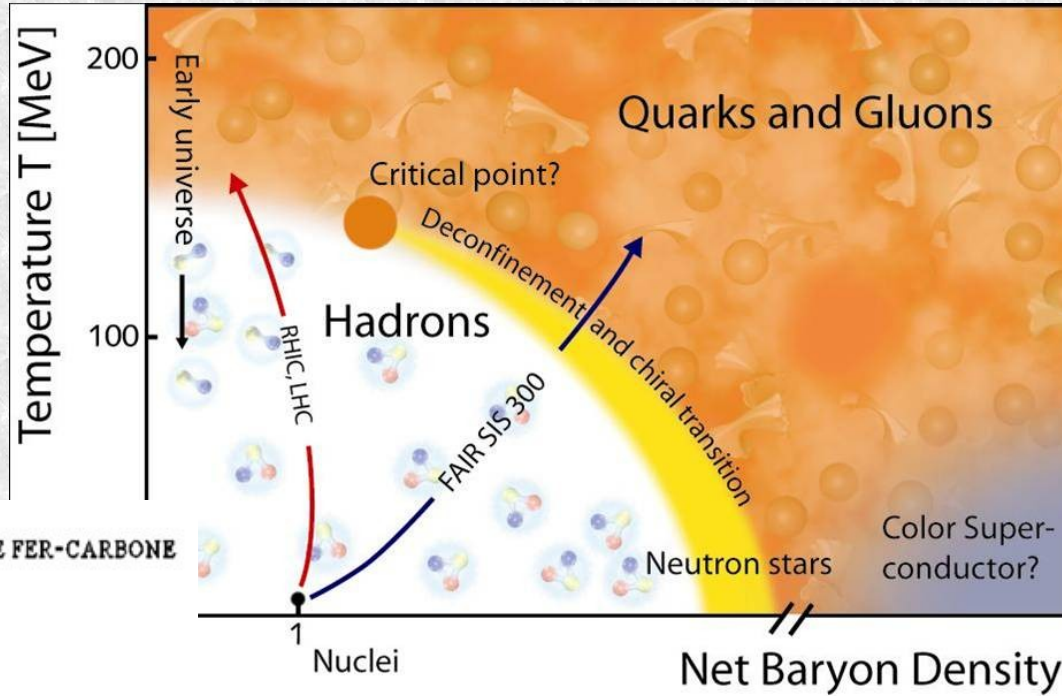
U.S. Department of Energy
U.S. National Science Foundation
Lawrence Berkeley National Laboratory
Stanford Linear Accelerator Center
American Physical Society, Division of Particles and Fields
BURLE INDUSTRIES, INC.

©2000 Contemporary Physics Education Project. CPEP is a non-profit organization of teachers, physicists, and educators. Send mail to: CPEP MS 50-308, Lawrence Berkeley National Laboratory, Berkeley, CA, 94720. For information on charts, text materials, hands-on classroom activities, and workshops, see:

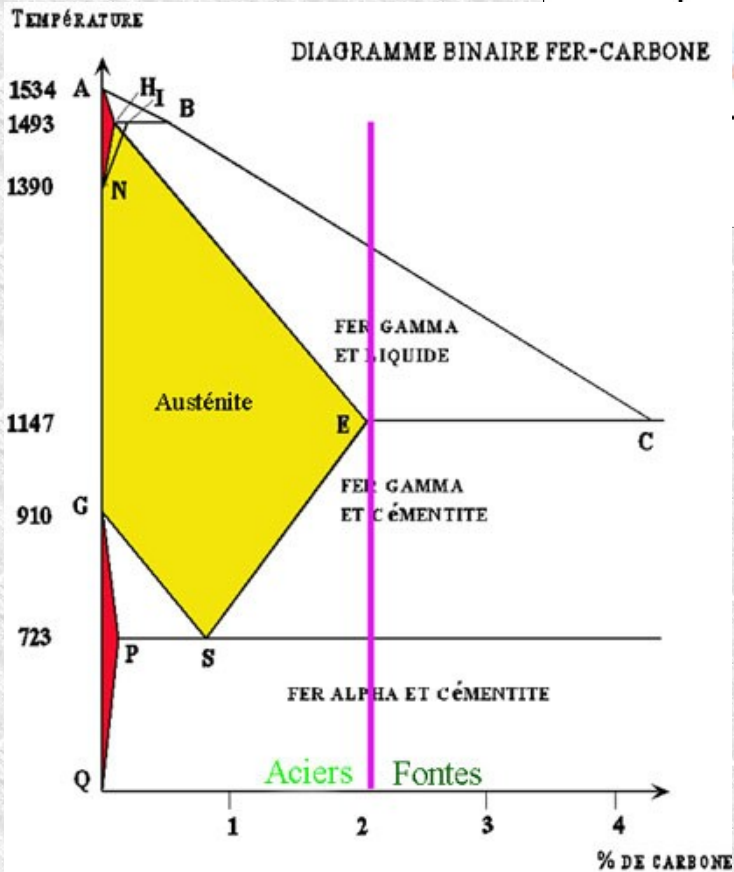
<http://CPEPweb.org>

La diagramme de phase

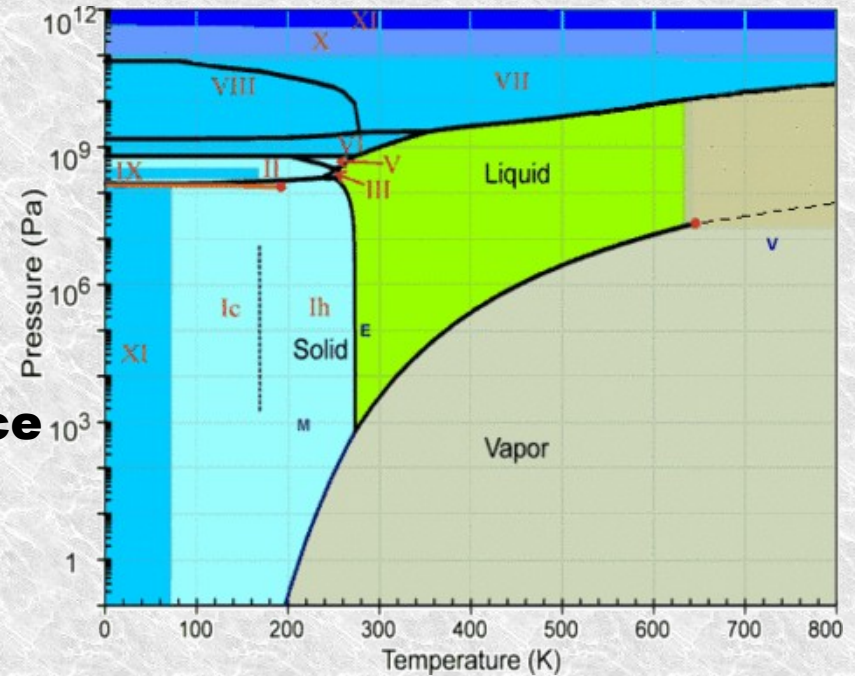
matière nucléaire

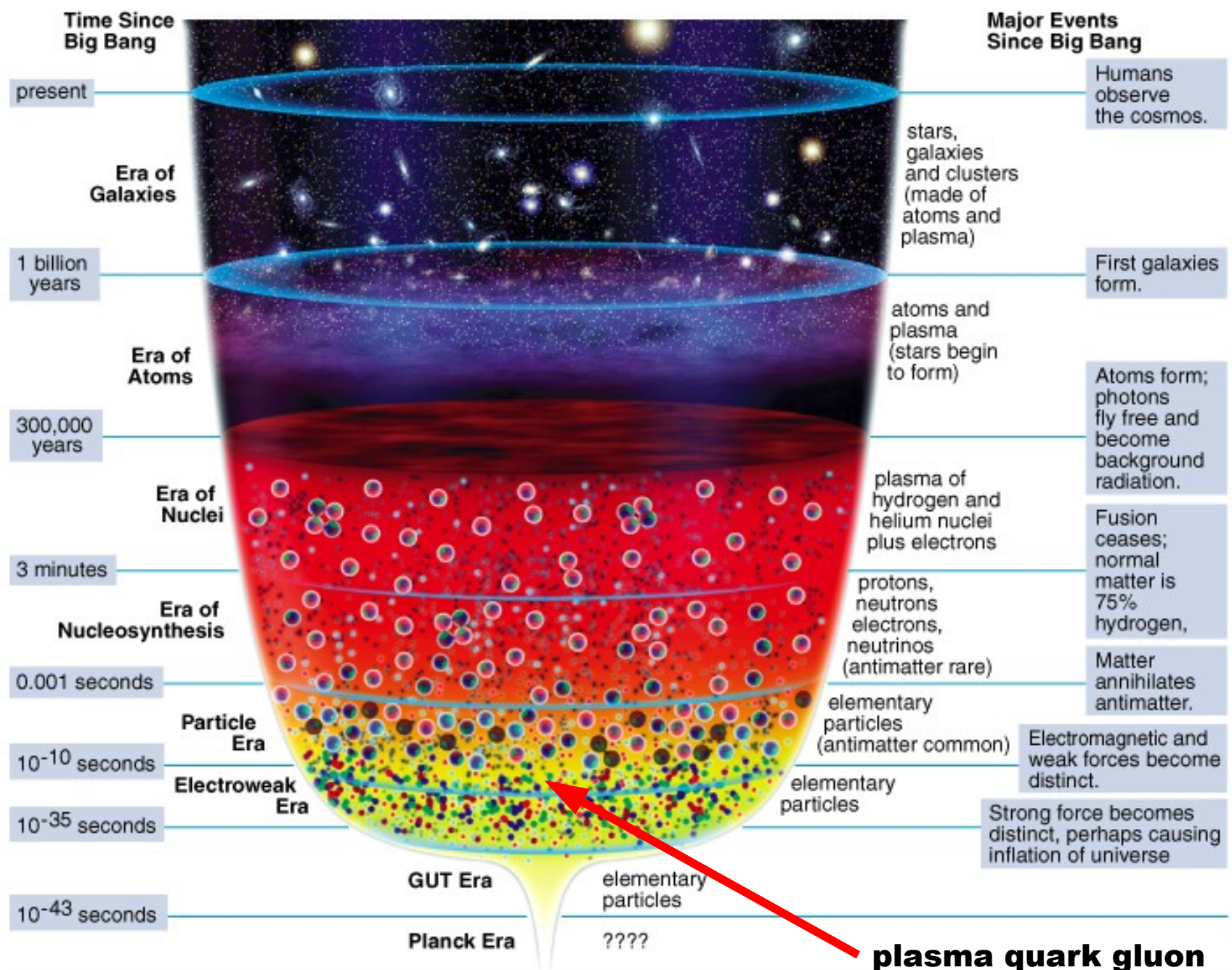


acier



**glace
eau
gaz**





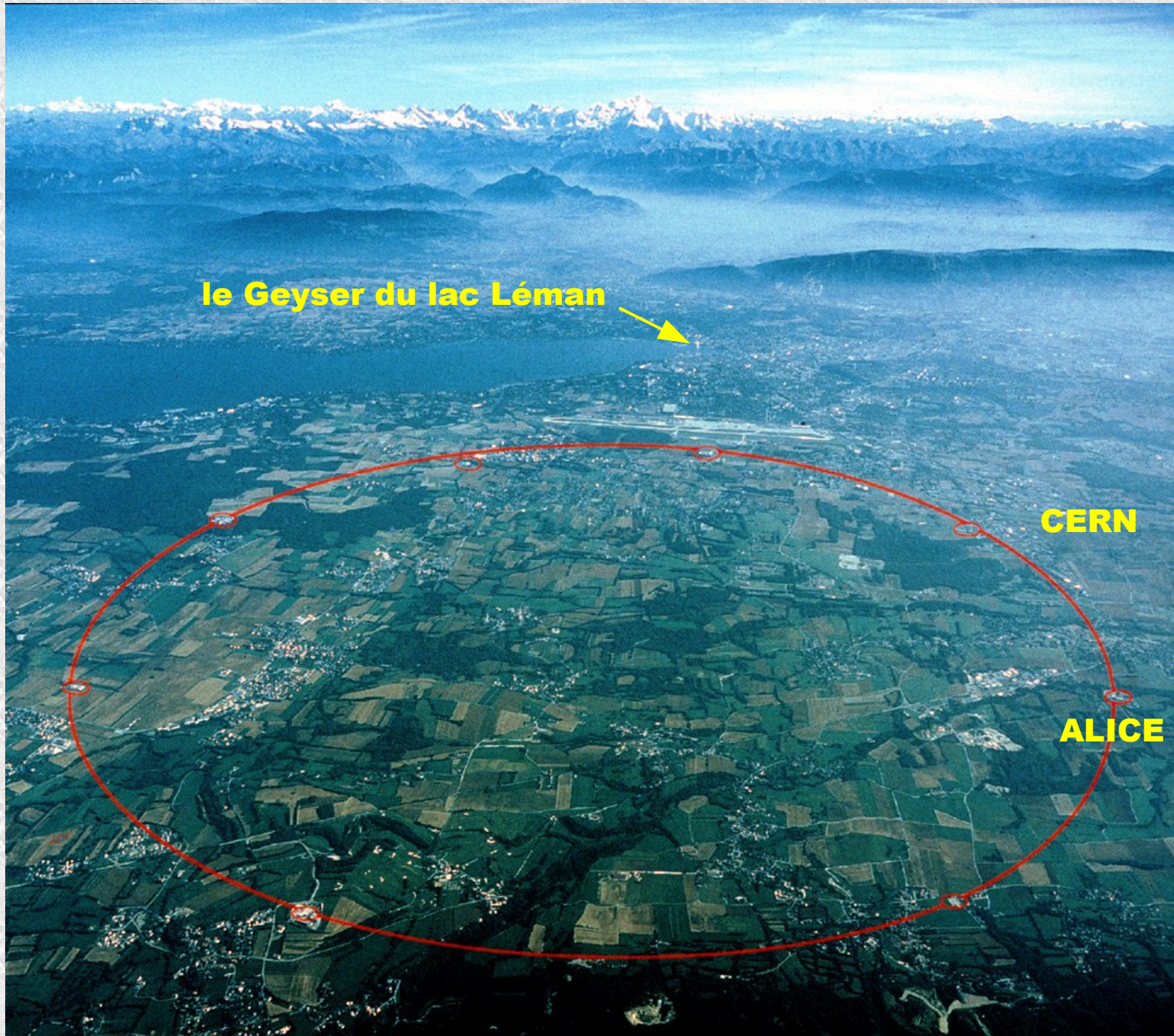
plasma quark gluon



La Technologie

- **le Grand Collisionneur de Hadrons LHC**
- **l'expérience ALICE (ions lourds, p+p)**

Le LHC dans la région Genève

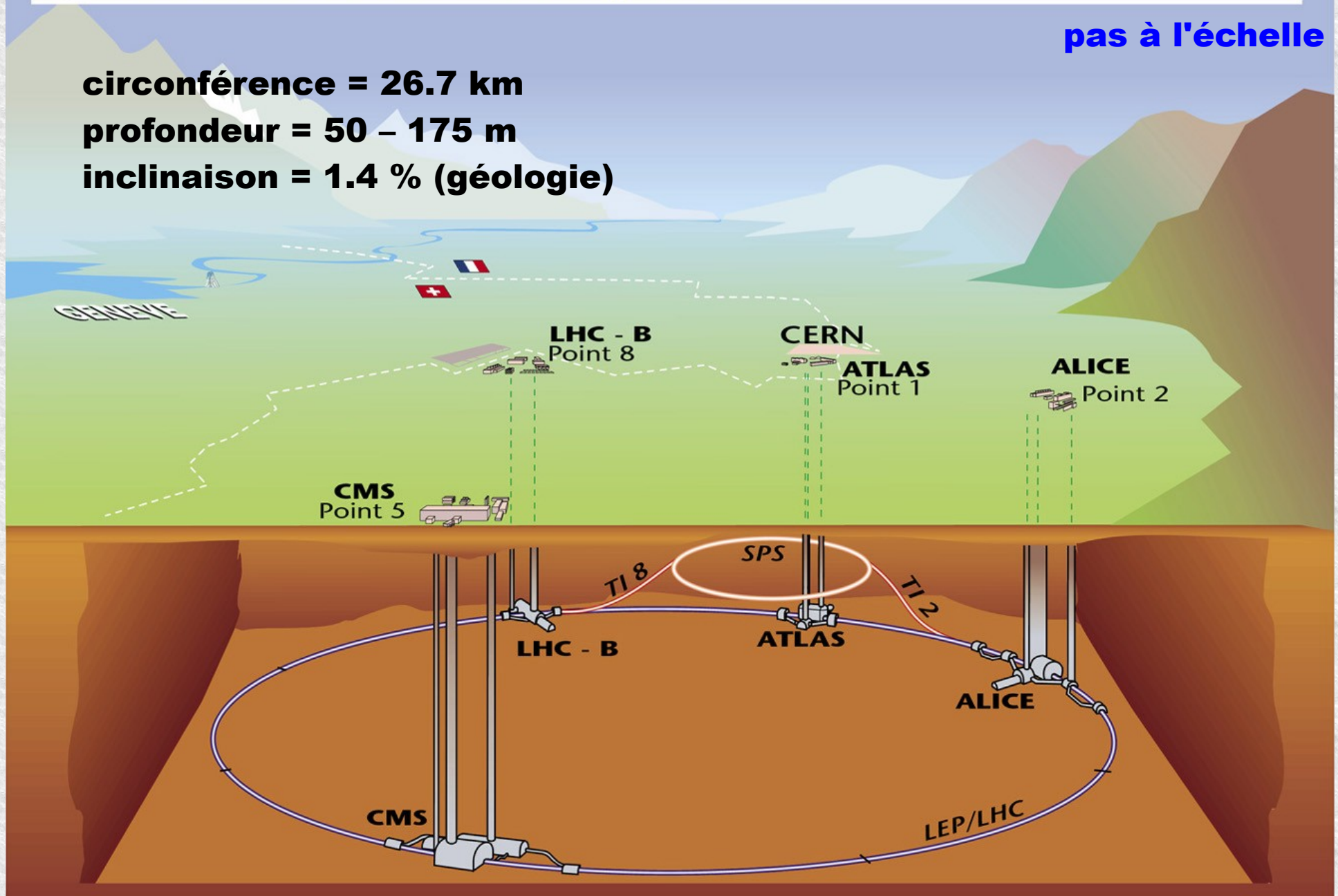


Les 4 grandes expériences au LHC

Overall view of the LHC experiments.

pas à l'échelle

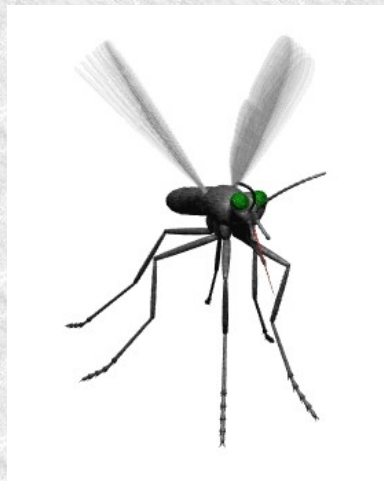
circonférence = 26.7 km
profondeur = 50 - 175 m
inclinaison = 1.4 % (géologie)



Accélérateur: l'échelle d'énergie

L'énergie approximative d'un électron frappant l'écran (CRT) d'une télévision couleur = 20000 eV = 20 keV (kilo-electron-volt)

$$1 \text{ eV} = 1.6 \cdot 10^{-19} \text{ J}$$



$$m = 1 \text{ mg}$$
$$v = 2 \text{ km/h}$$

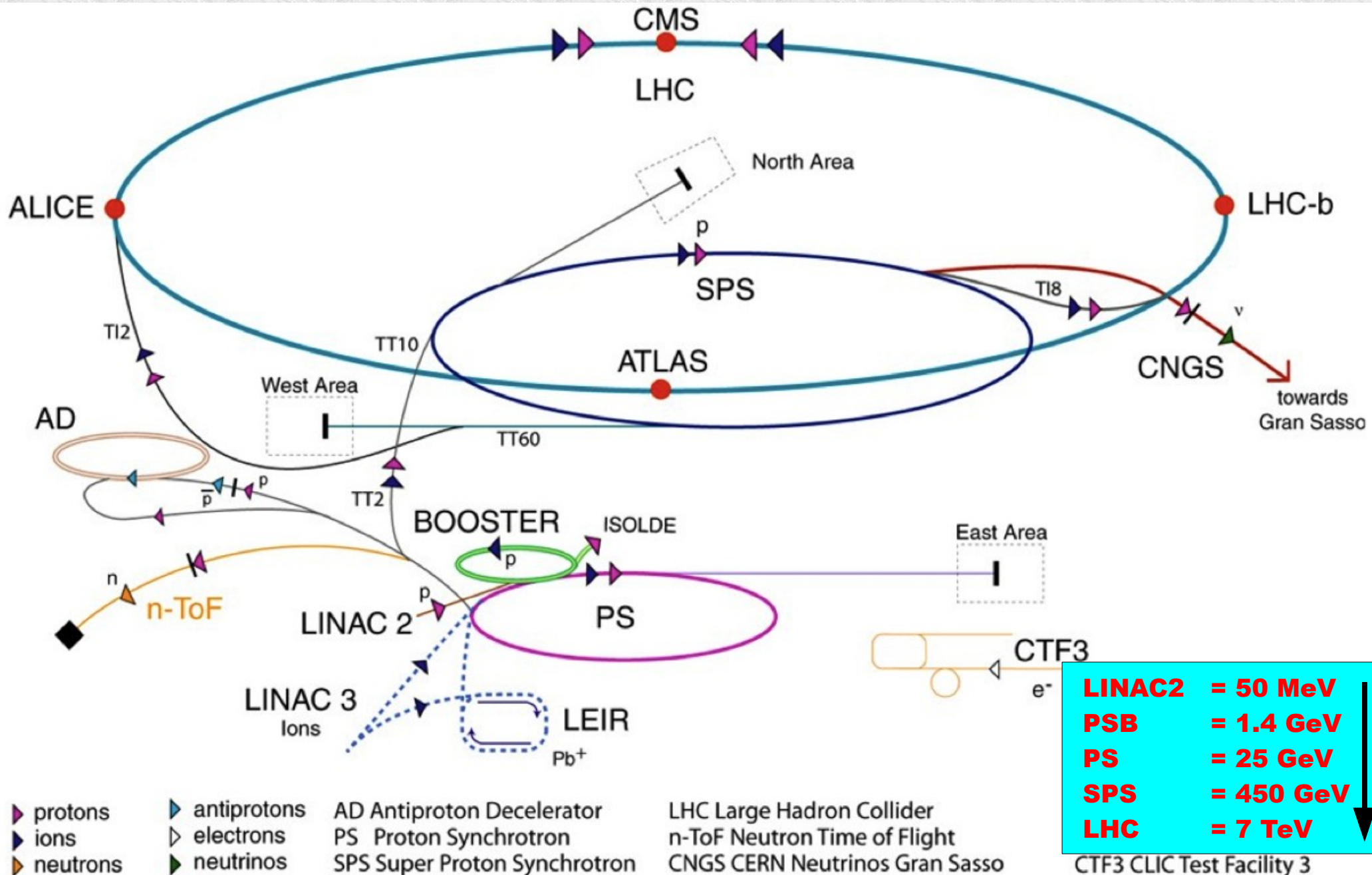
$$E_{kin} = \frac{m \cdot v^2}{2}$$

$$E_{kin} = 1\,000\,000\,000\,000 \text{ eV} = 1 \text{ TeV}$$

(terra-electron-volt)

$$1 \text{ proton } (m = 1.67 \cdot 10^{-27} \text{ kg}) \text{ à } 15 \text{ km/s} \quad E_{kin} = 1 \text{ eV}$$

Le complexe d'accélération (p-p)



LINAC2 = 50 MeV
PSB = 1.4 GeV
PS = 25 GeV
SPS = 450 GeV
LHC = 7 TeV

Étapes dans la formation des faisceaux

Source de protons (H^+)



LINAC 2 – accélération



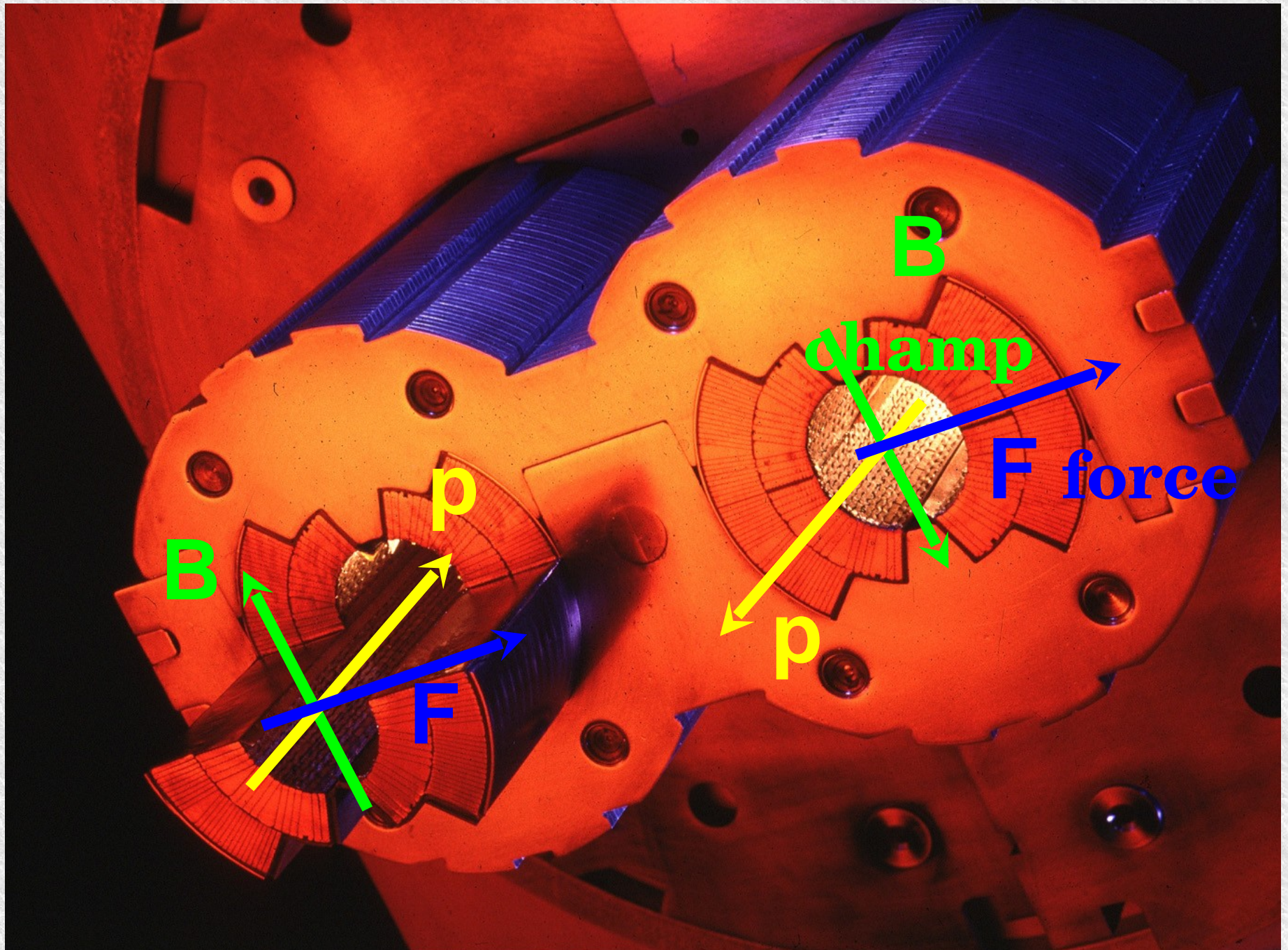
LHC – courbure (8 x 3 km)



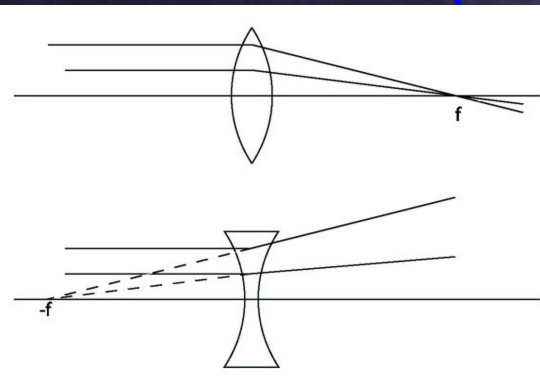
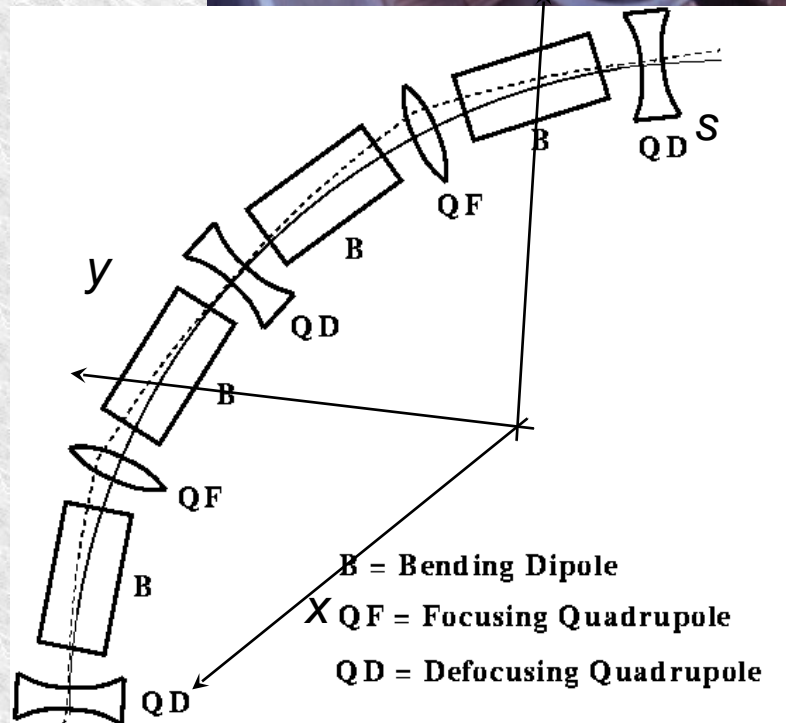
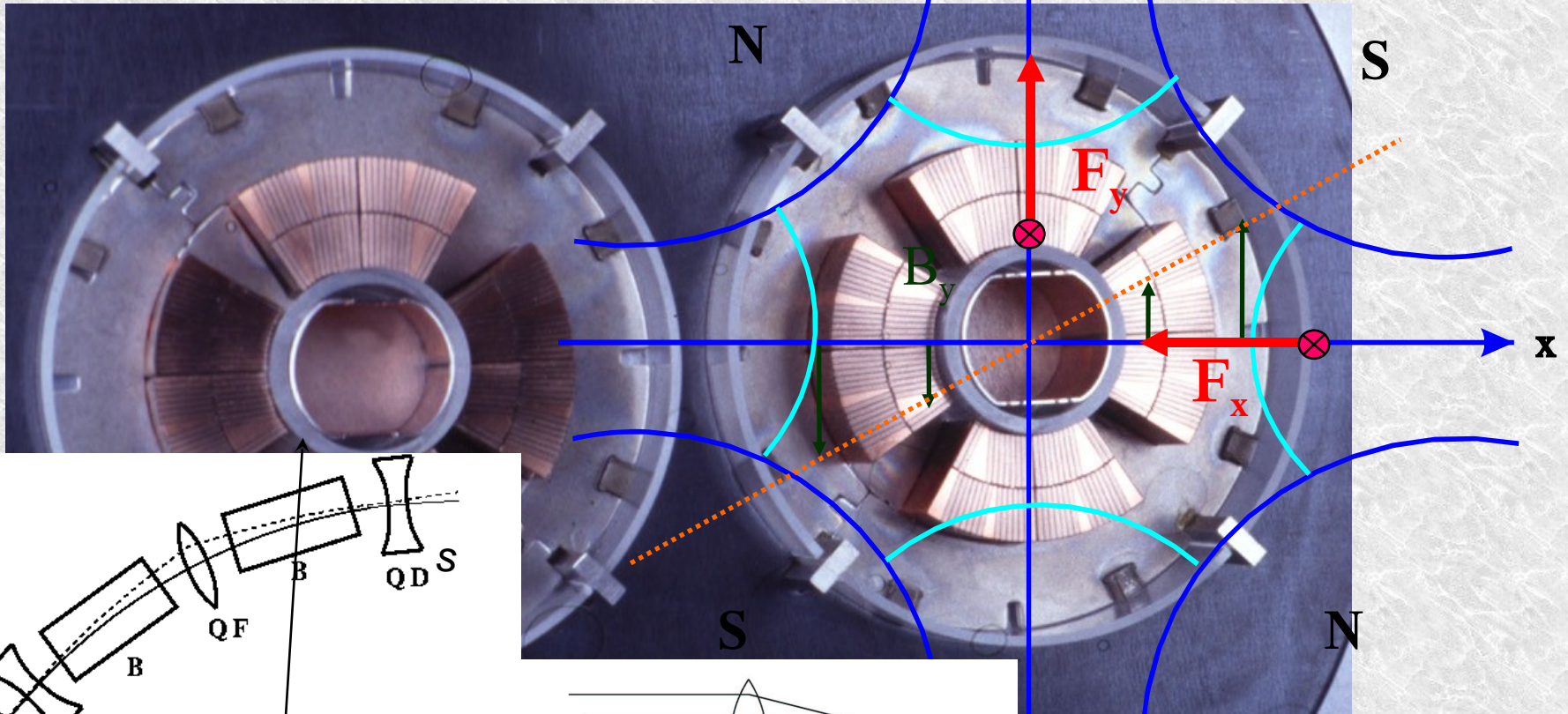
LHC – accélération RF (8)



1232 dipôles de courbure

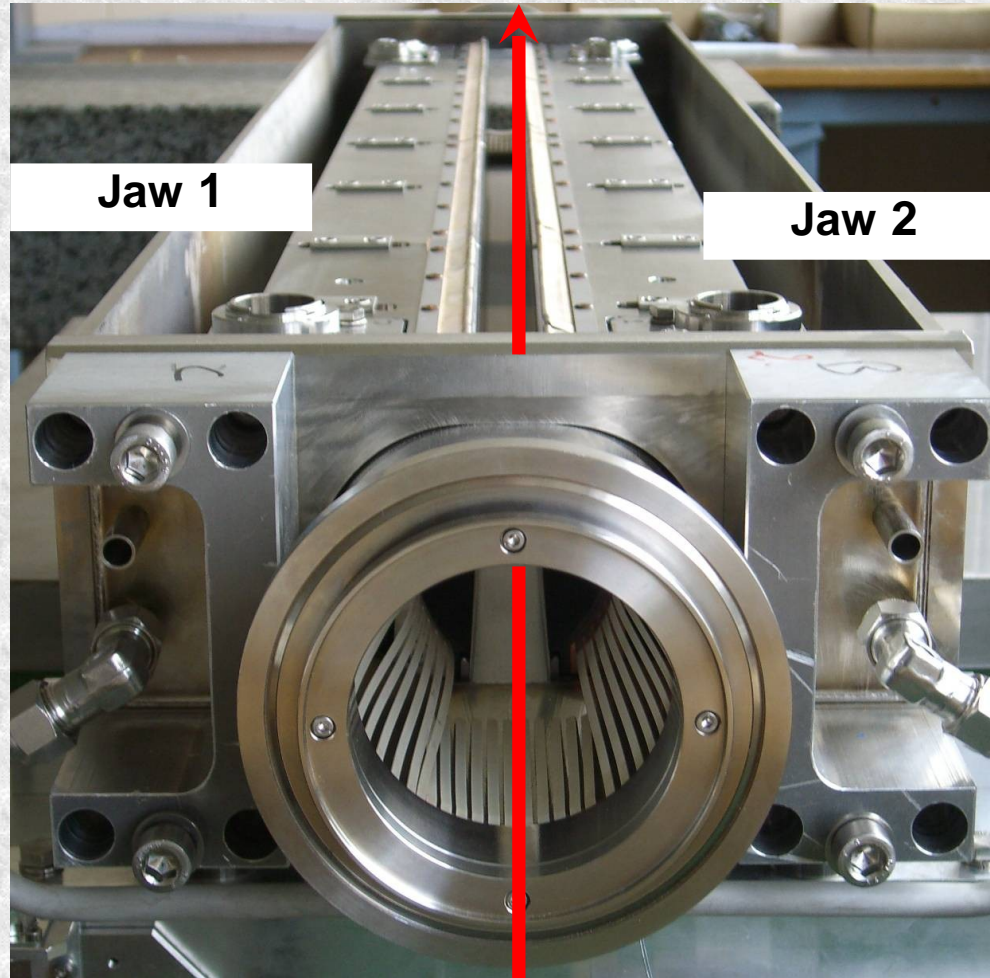


392 quadrupôles de (dé)focalisation



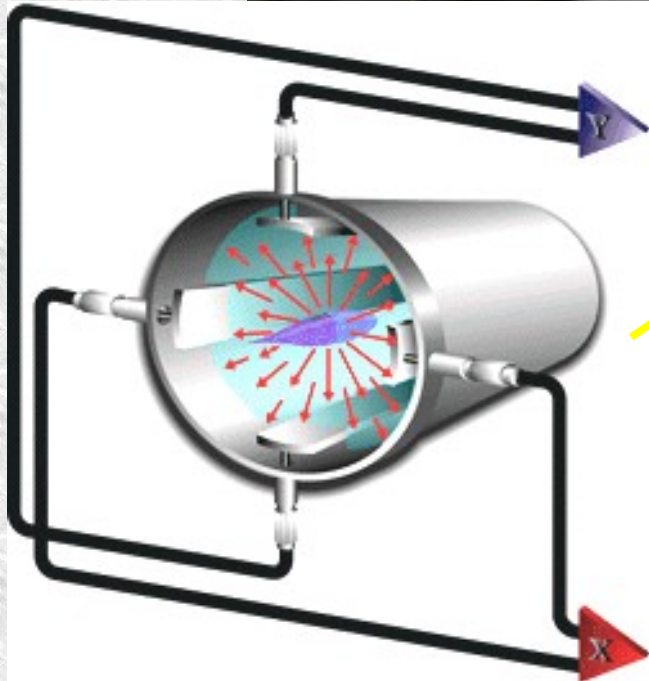
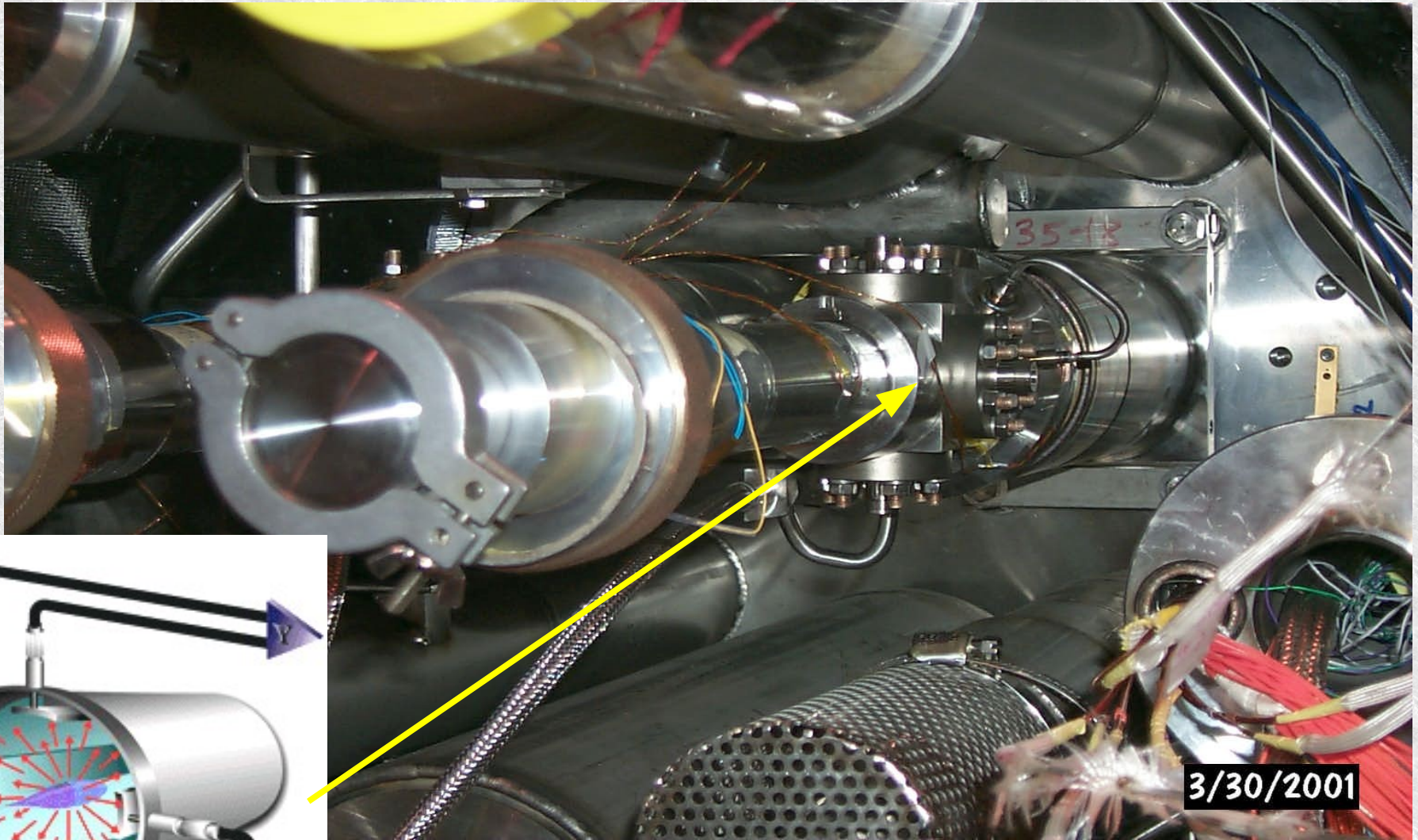
**optique du faisceau
(4-pôles, 6-pôles)**

108 éléments de nettoyage du faisceau par collimateurs et absorbeurs



réduit le halo autour du faisceau

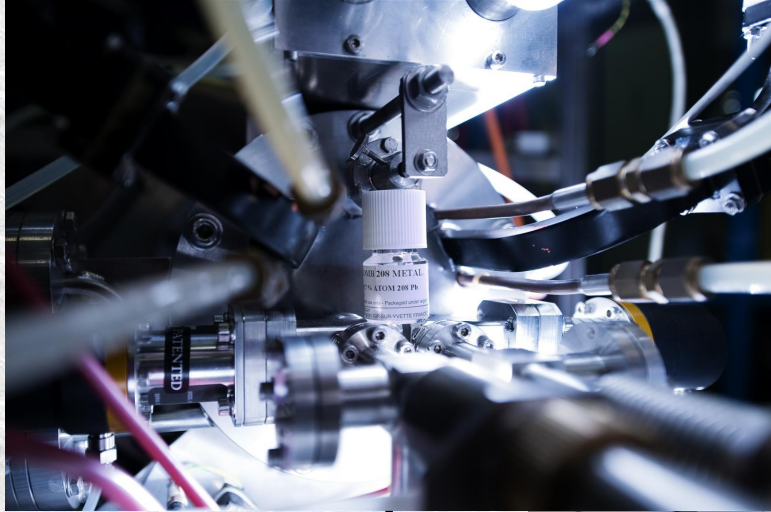
Moniteur de la position du faisceau



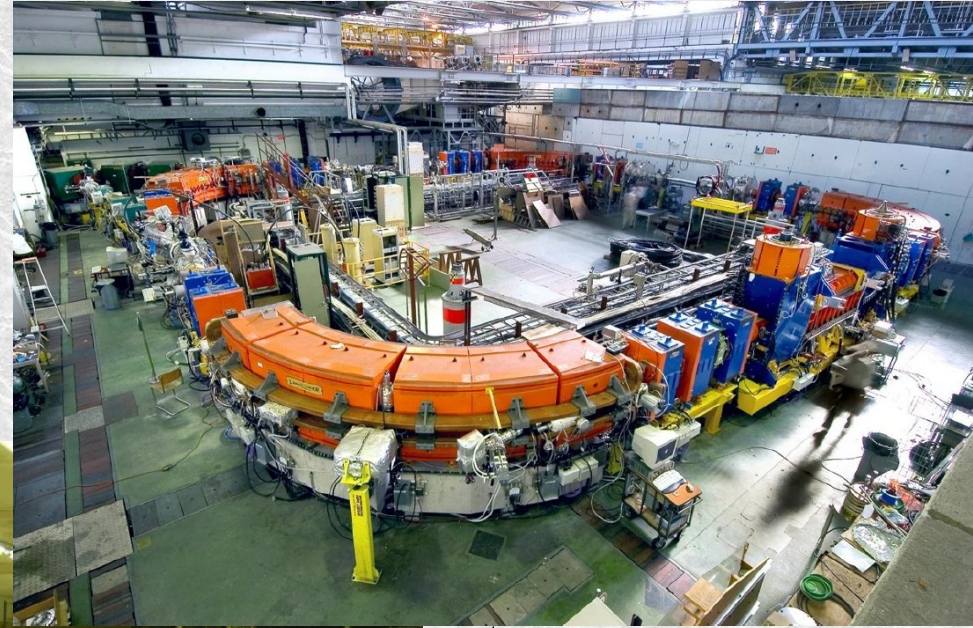
fonctionne par induction électrique

Les ions lourds (Pb=82p+126n)

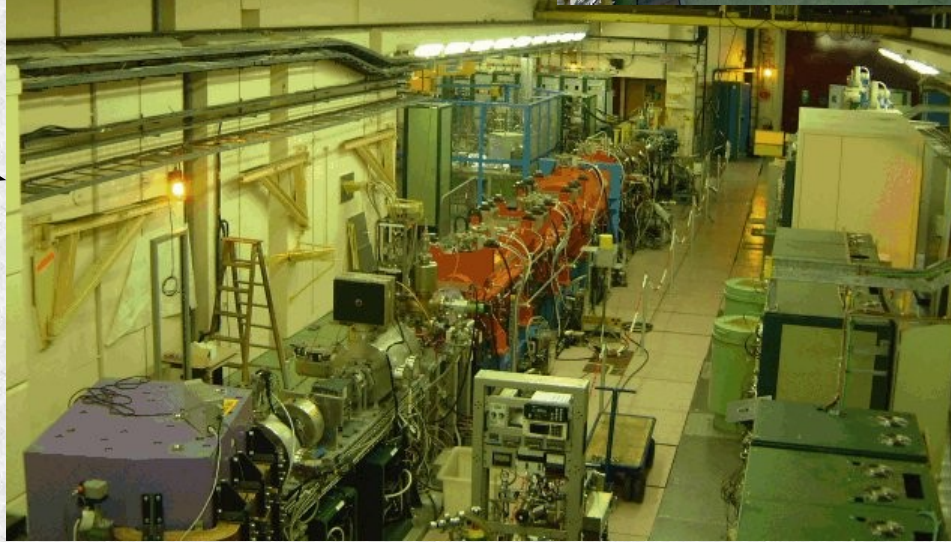
**Source ECR
(Electron Cyclotron Resonance)
2.4 keV/u, Pb27+**



L'accumulateur d'ions LEIR



**accélération
et augmentation
de l'état de
ionisation**



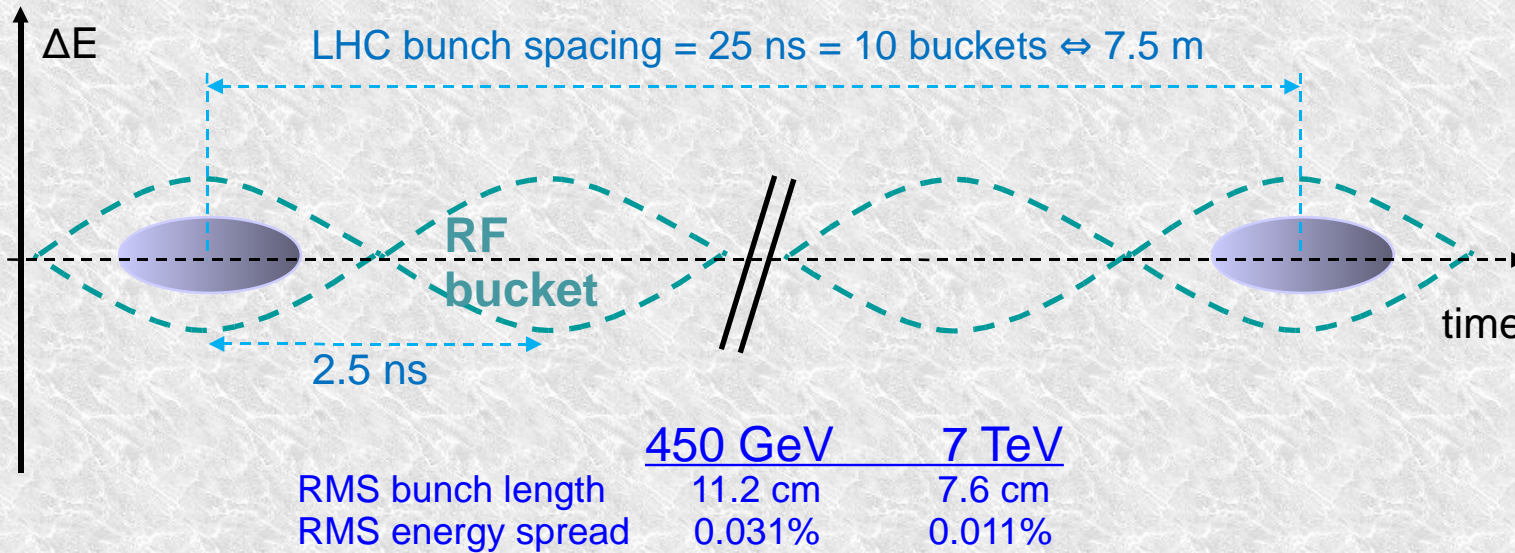
**compression
des paquets**

**LINAC3 4.2 MeV/u, Pb53+
(1μm feuille de carbone)**

Le centre de contrôle de l'accélérateur

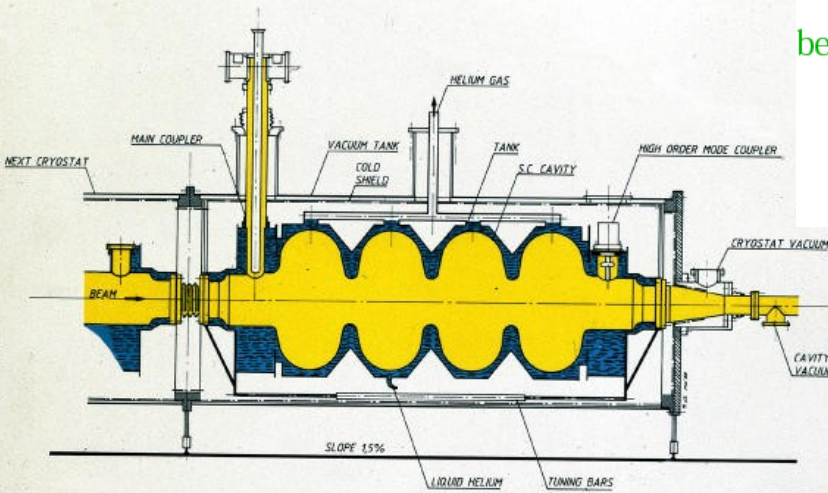


La structure du faisceau

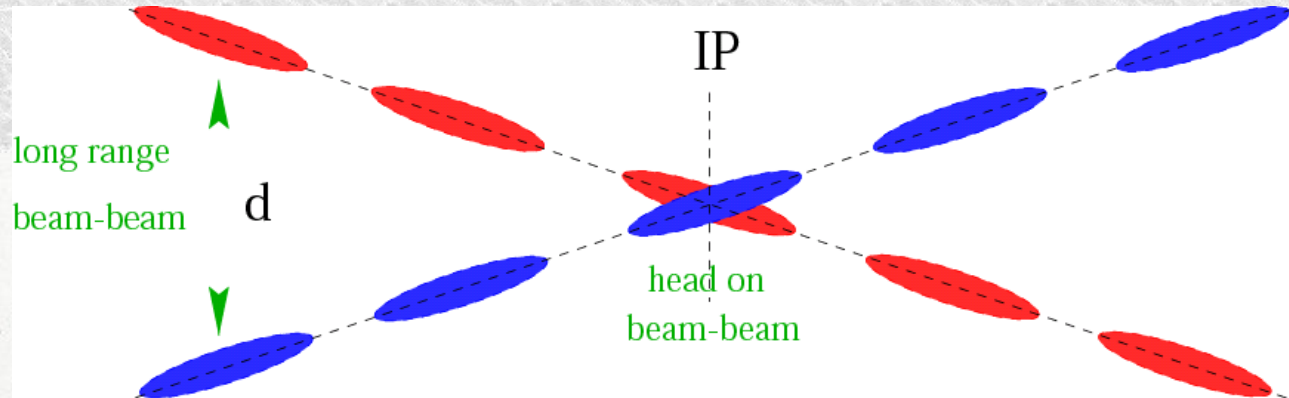


“paquets” de particules

cavité radiofrequence



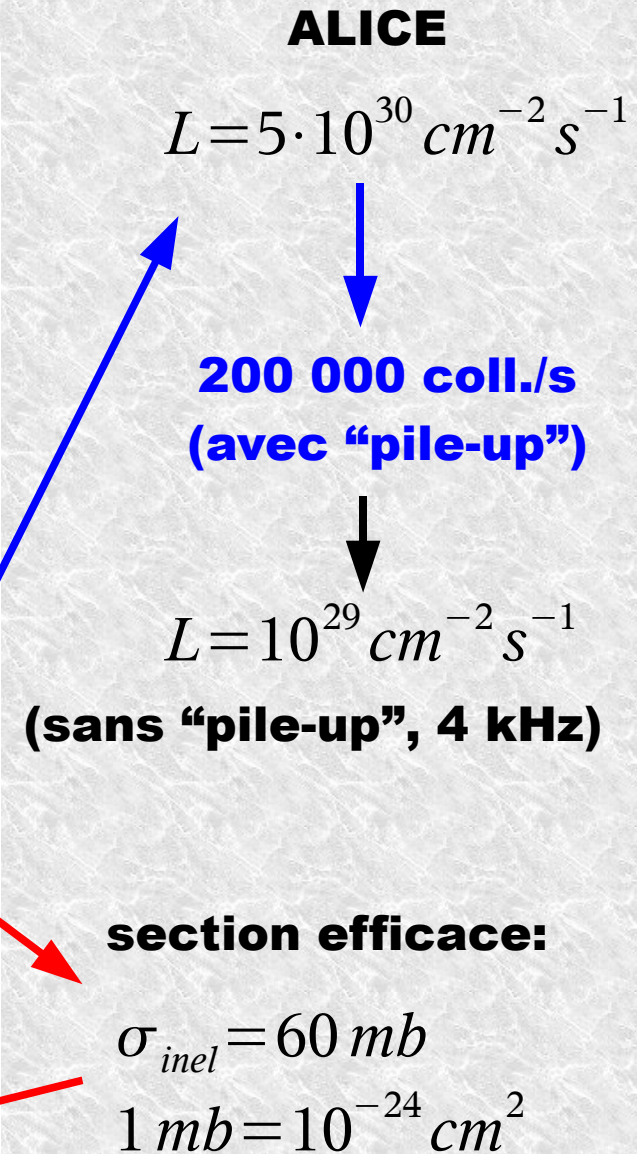
SUPERCONDUCTING CAVITY WITH ITS CRYOSTAT



région (point) d'interaction

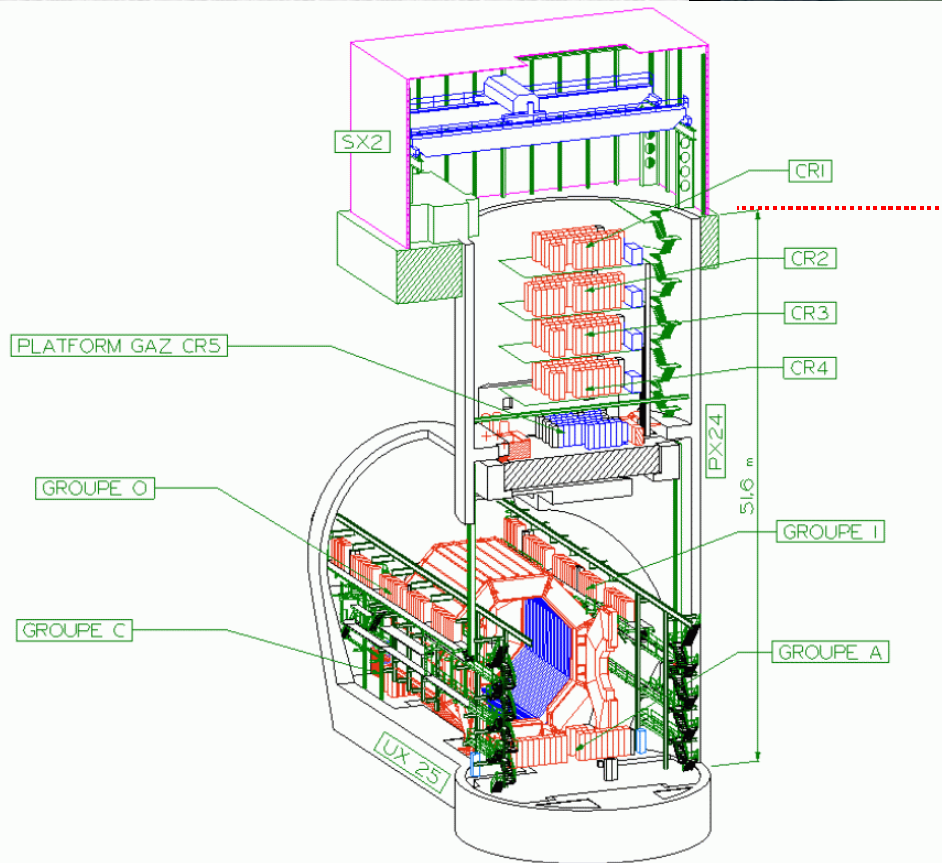
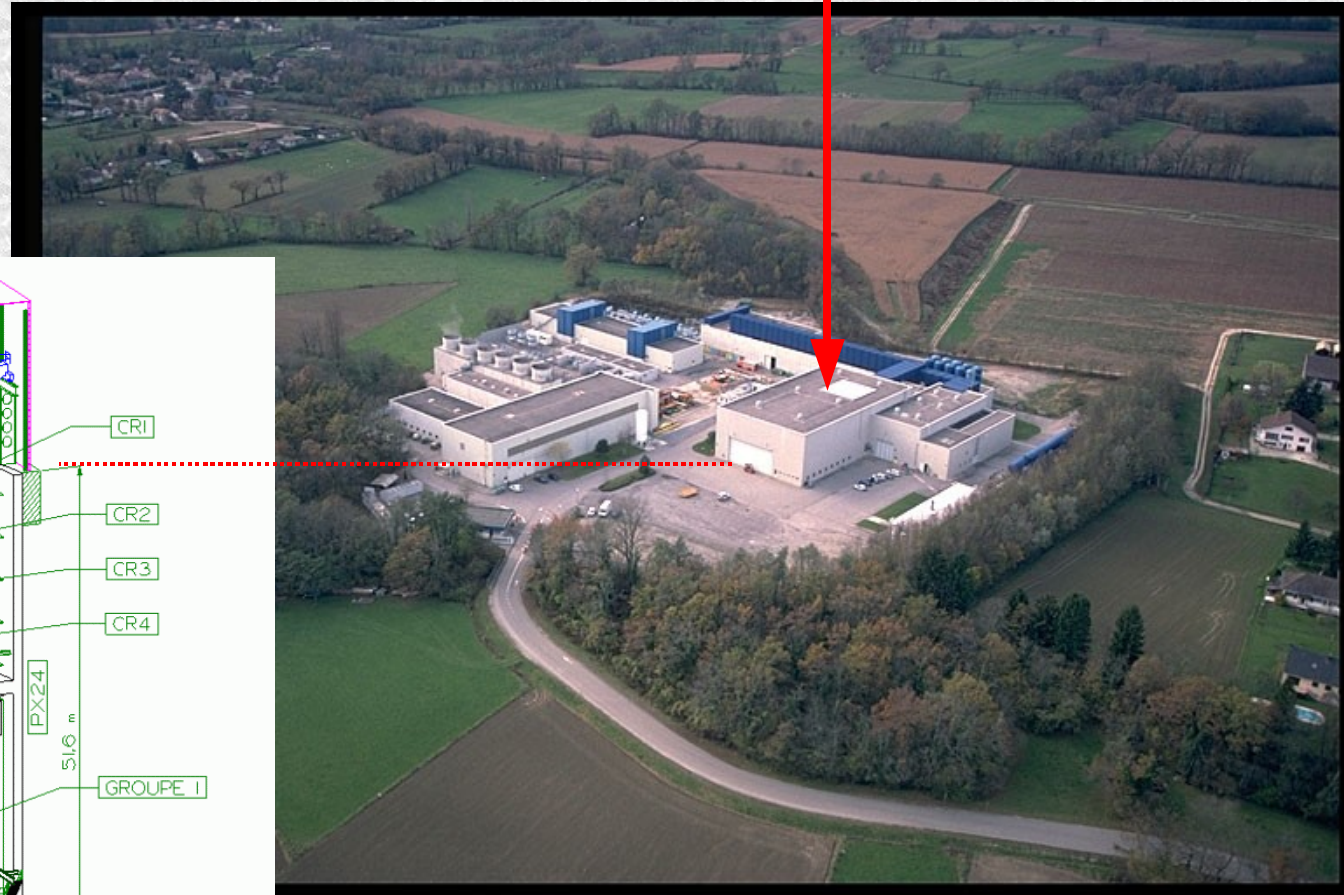
Collisions pour ALICE au Point2

Caractéristique	Valeur
Circonférence	26 659 m
Température d'exploitation des dipôles	1,9 K (-271.3°C)
Nombre d'aimants	9593
Nombre de dipôles principaux	1232
Nombre de quadripôles principaux	392
Nombre de cavités radiofréquence	8 par faisceau
Énergie nominale, mode protons	7 TeV
Énergie nominale, mode ions	2,76 TeV/u (*)
Champ magnétique dipolaire maximal	8.33 T
Distance min. entre les paquets	~7 m
Luminosité nominale	$10^{34} \text{ cm}^{-2} \text{ s}^{-1}$
Nombre de paquets par faisceau de protons	2808
Protons par paquet (au départ)	$1,1 \times 10^{11}$
Nombre de tours par seconde	11 245
Nombre de collisions par seconde	600 millions



Le site ALICE au Point2 (Saint-Genis-Pouilly, FR)

51.6 m sous la terre



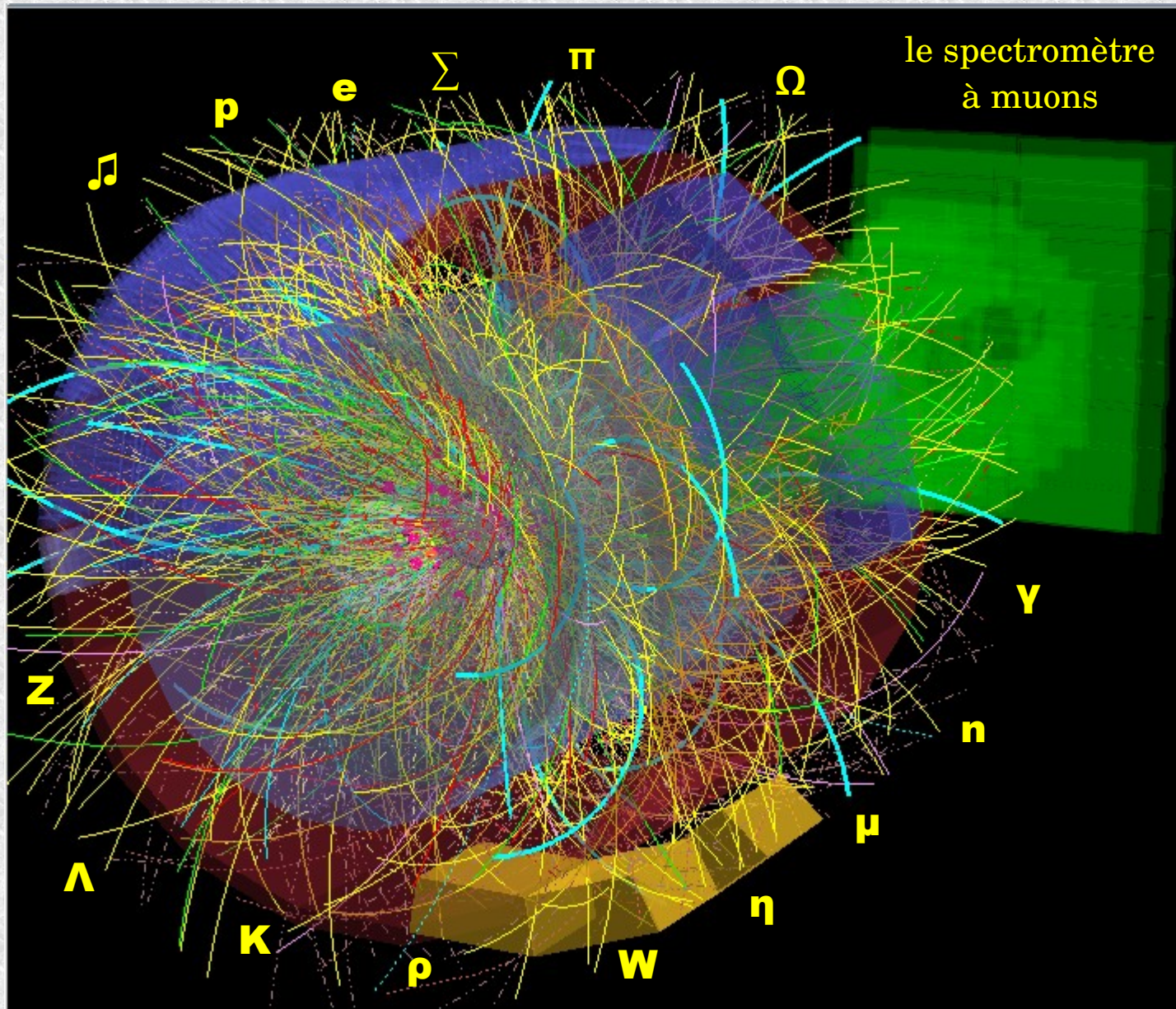
Les détecteurs de l'expérience ALICE



- 1• L3 MAGNET
- 2• HMPID
- 3• TOF
- 4• DIPOLE MAGNET
- 5• MUON FILTER
- 6• TRACKING CHAMBERS
- 6'• TRIGGER CHAMBERS
- 7• ABSORBER
- 8• TPC
- 9• PHOS
- 10• ITS



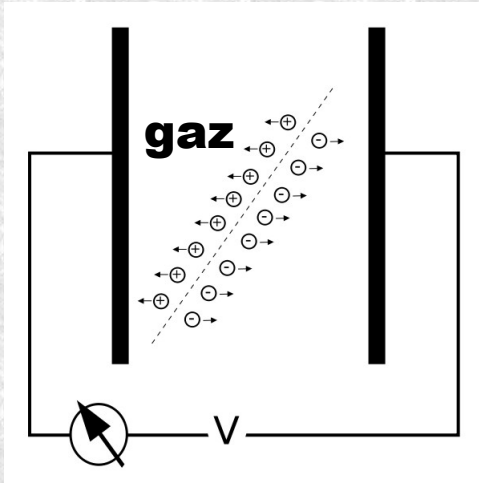
Attention, ça collisionne!



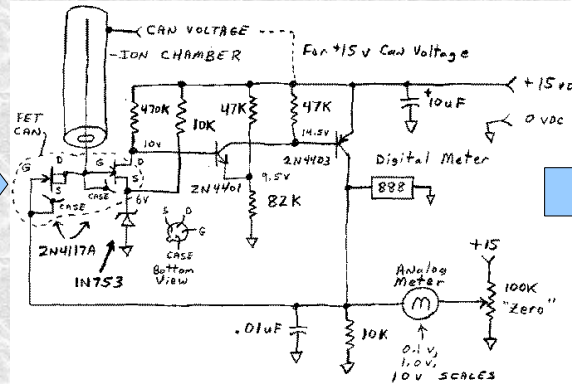
Pb-Pb novembre 2011

Le détecteur de particules

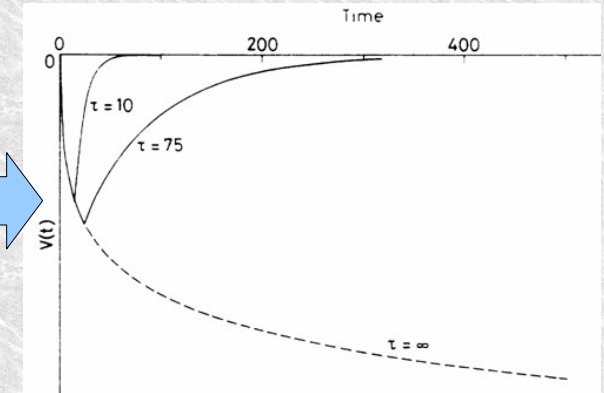
particule ionisante...



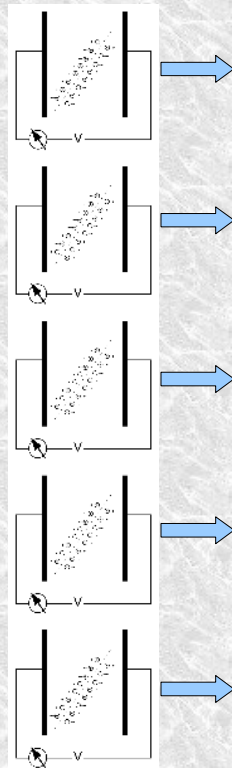
charge électrique...



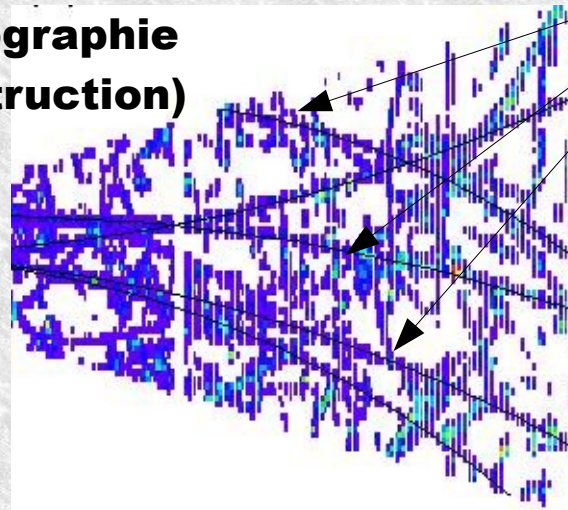
signal (analogique)



segmentation géométrique et multiplication des voies électroniques



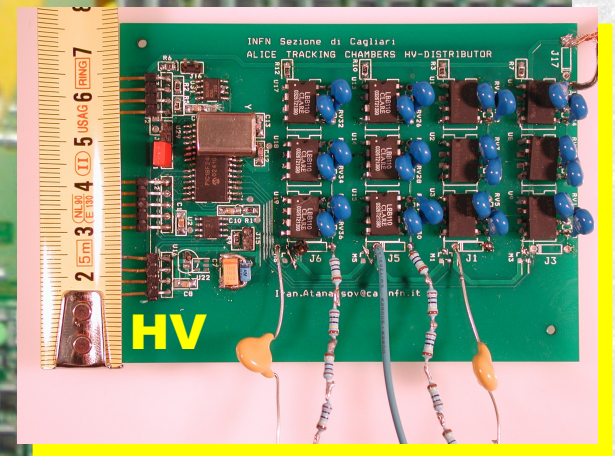
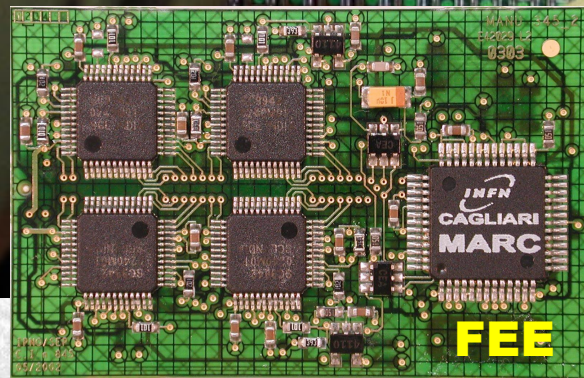
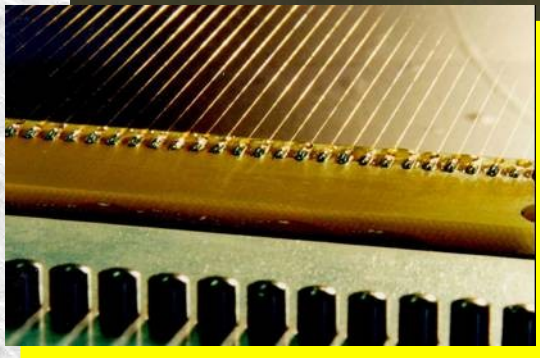
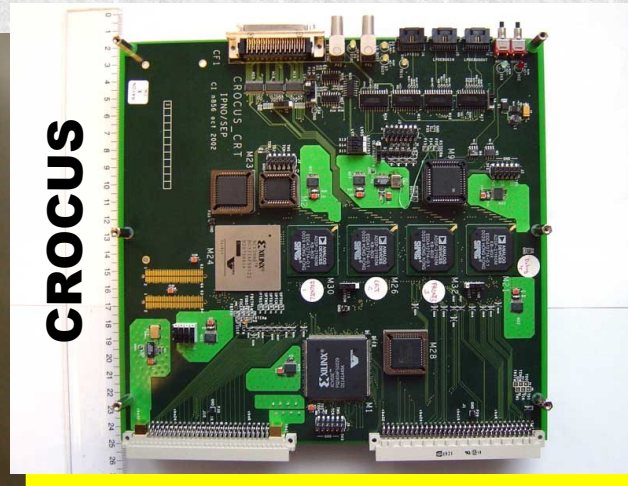
trajectographie (reconstruction)



trajectoires de particules

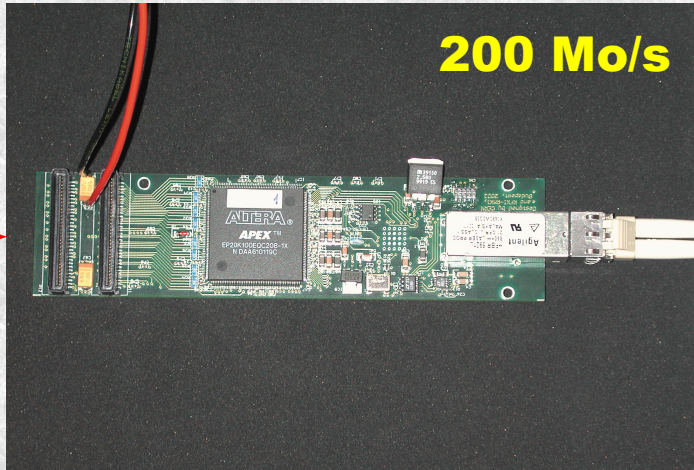
ALICE/TPC
"Time Projection Chamber"
temps = coordonnée

Le spectromètre à muons



Le chemin des données

détecteur FERO



200 Mo/s

paire de fibres optiques

DDL – Detector Data Link



PX24 CR1
LDC (D-RORC)
GDC

assemblage des données

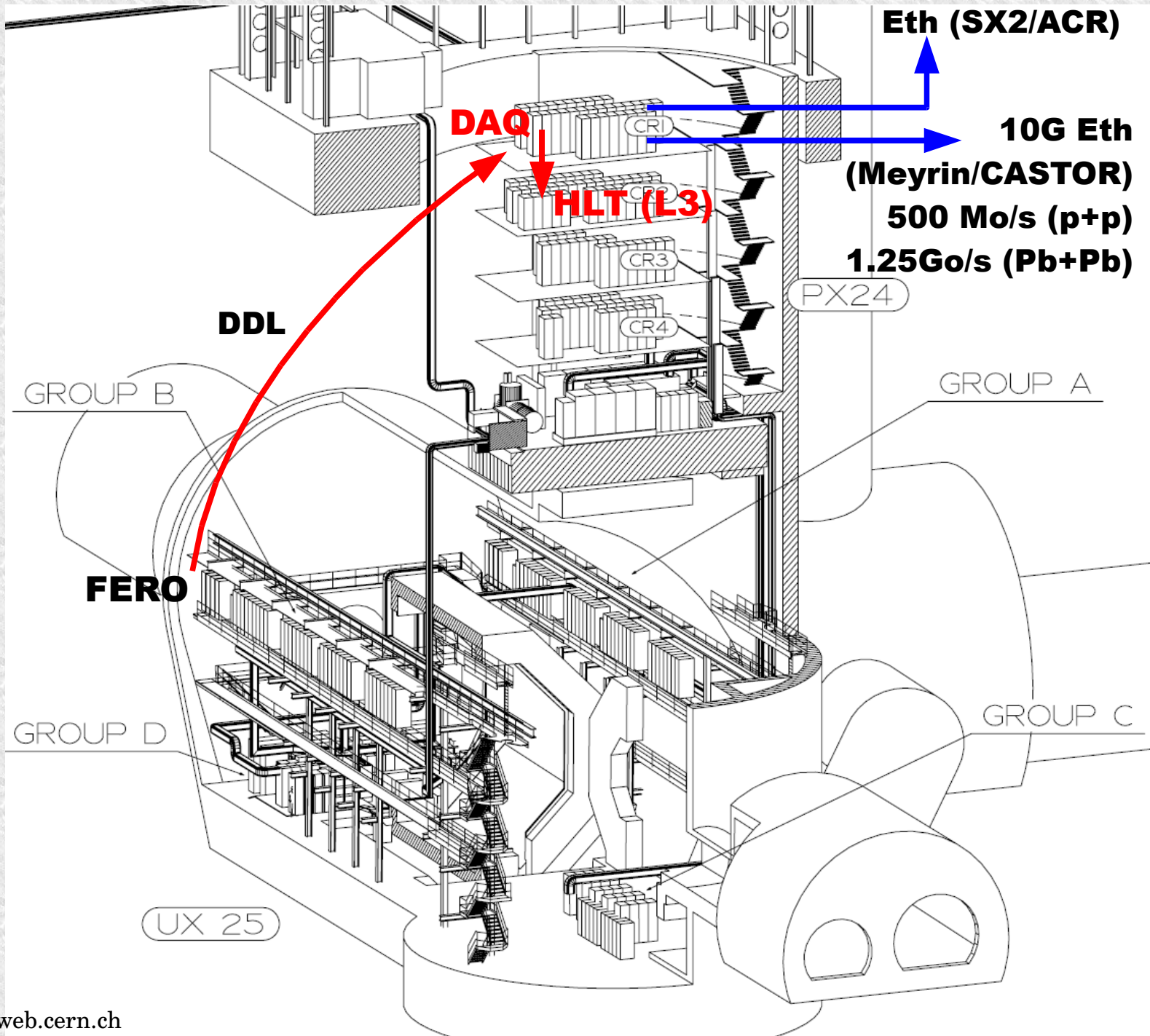


adaptateur PCI (D-RORC)



stockage temporaire

Le système d'acquisition de données

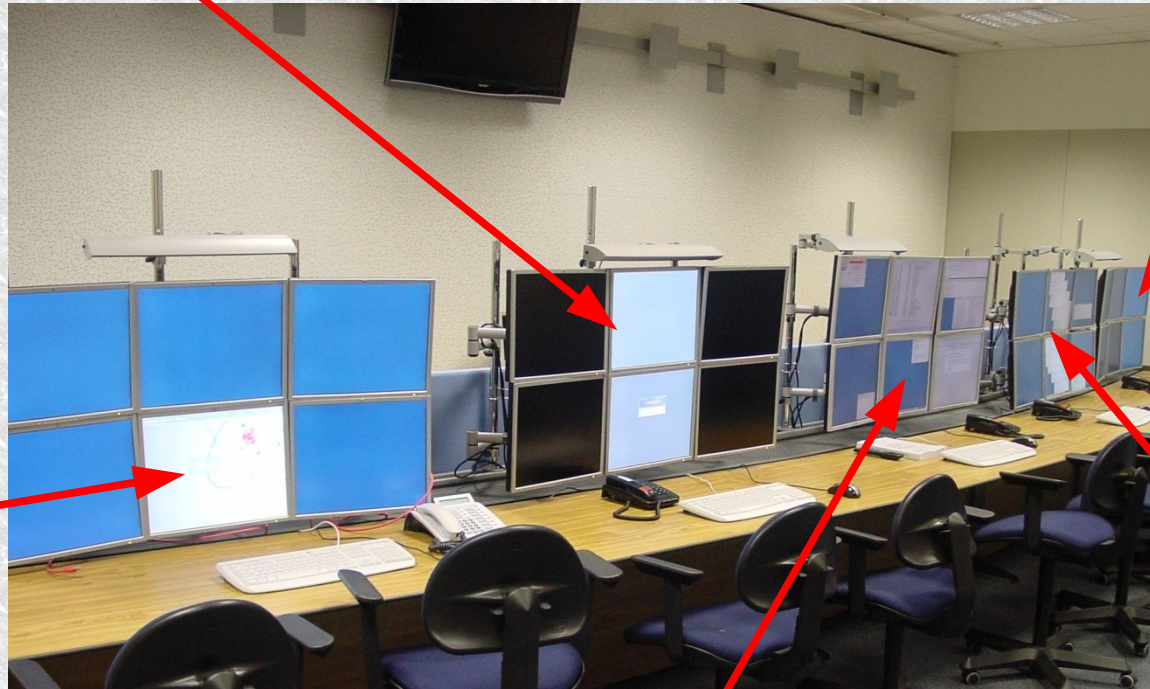


La salle de contrôle avec les postes de travail

ACR = ALICE Control Room

DAQ
acquisition des données

HLT
déclenchement de
haut niveau

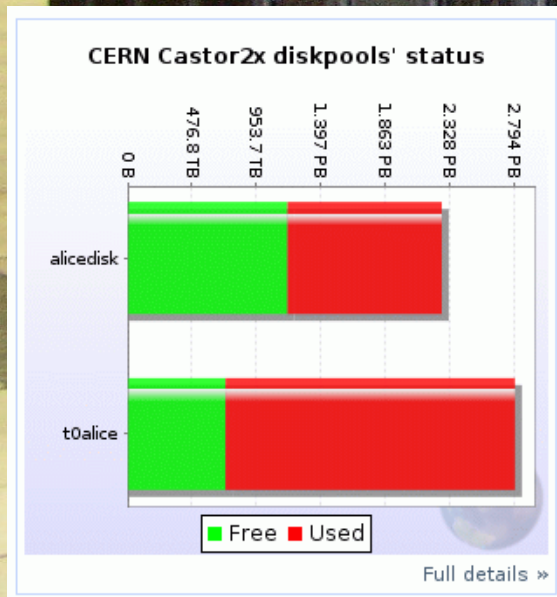


TRG
déclenchement

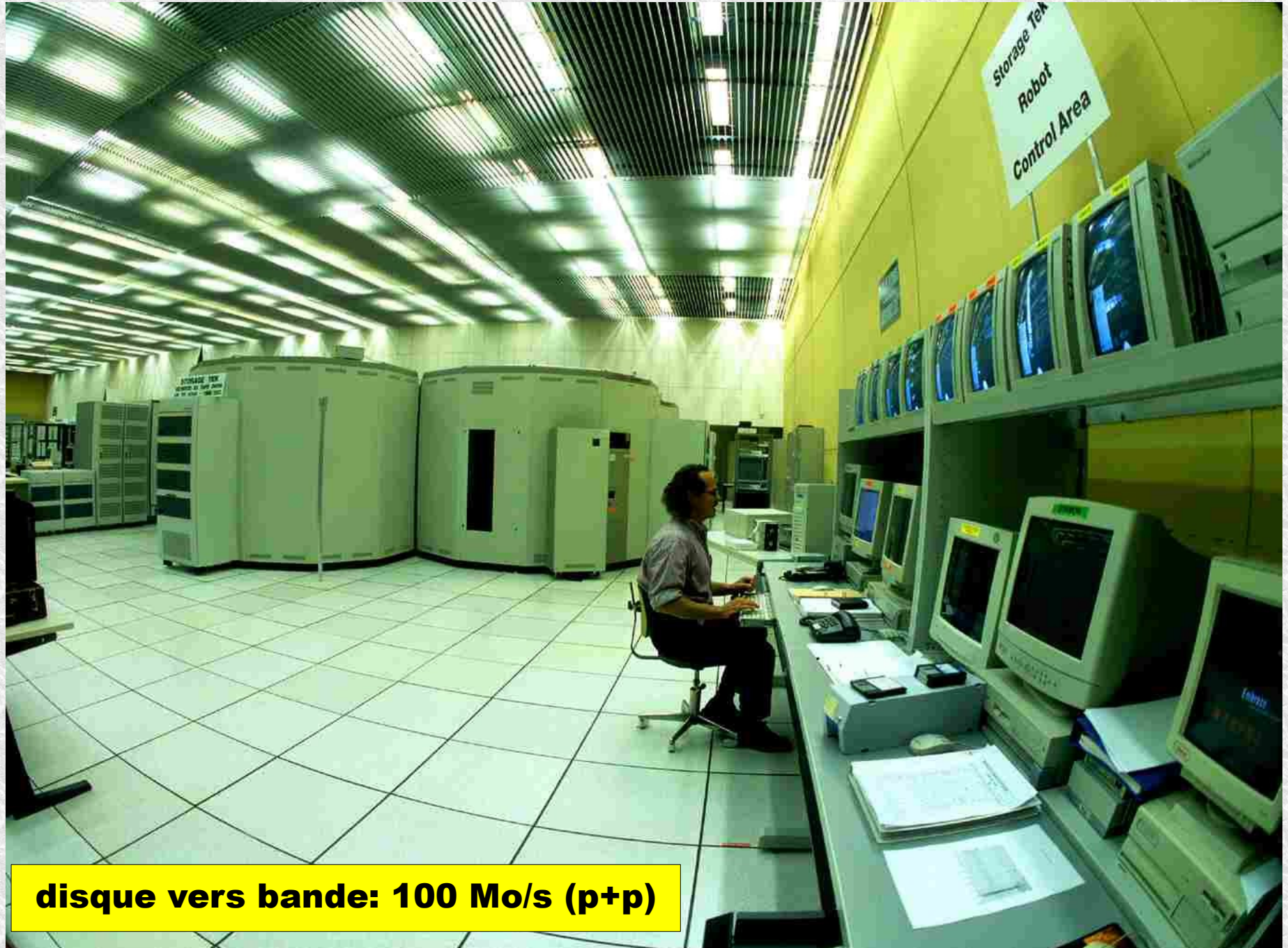
DCS
système contrôle
du détecteur

ECS
système contrôle
de l'expérience

Le stockage sur disque pour accès rapide



Le stockage permanent sur bande magnetique



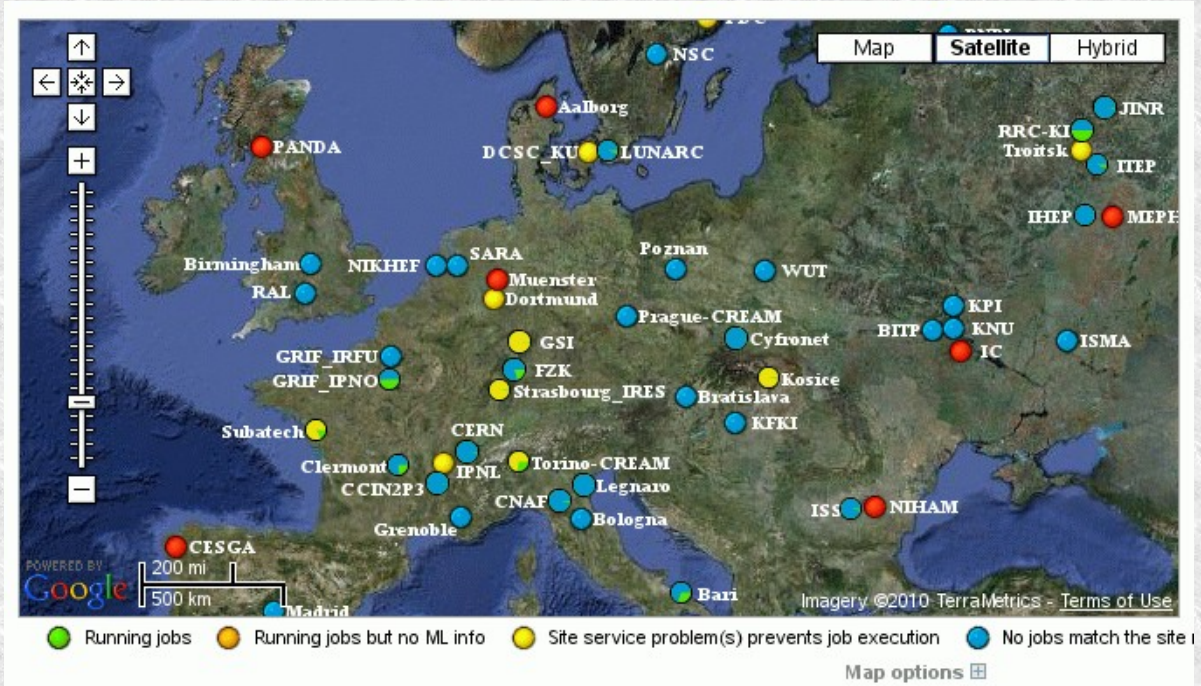
disque vers bande: 100 Mo/s (p+p)

Le “chef d'orchestre” AliEn sur la grille de calcul

Le services centraux “AliEn”

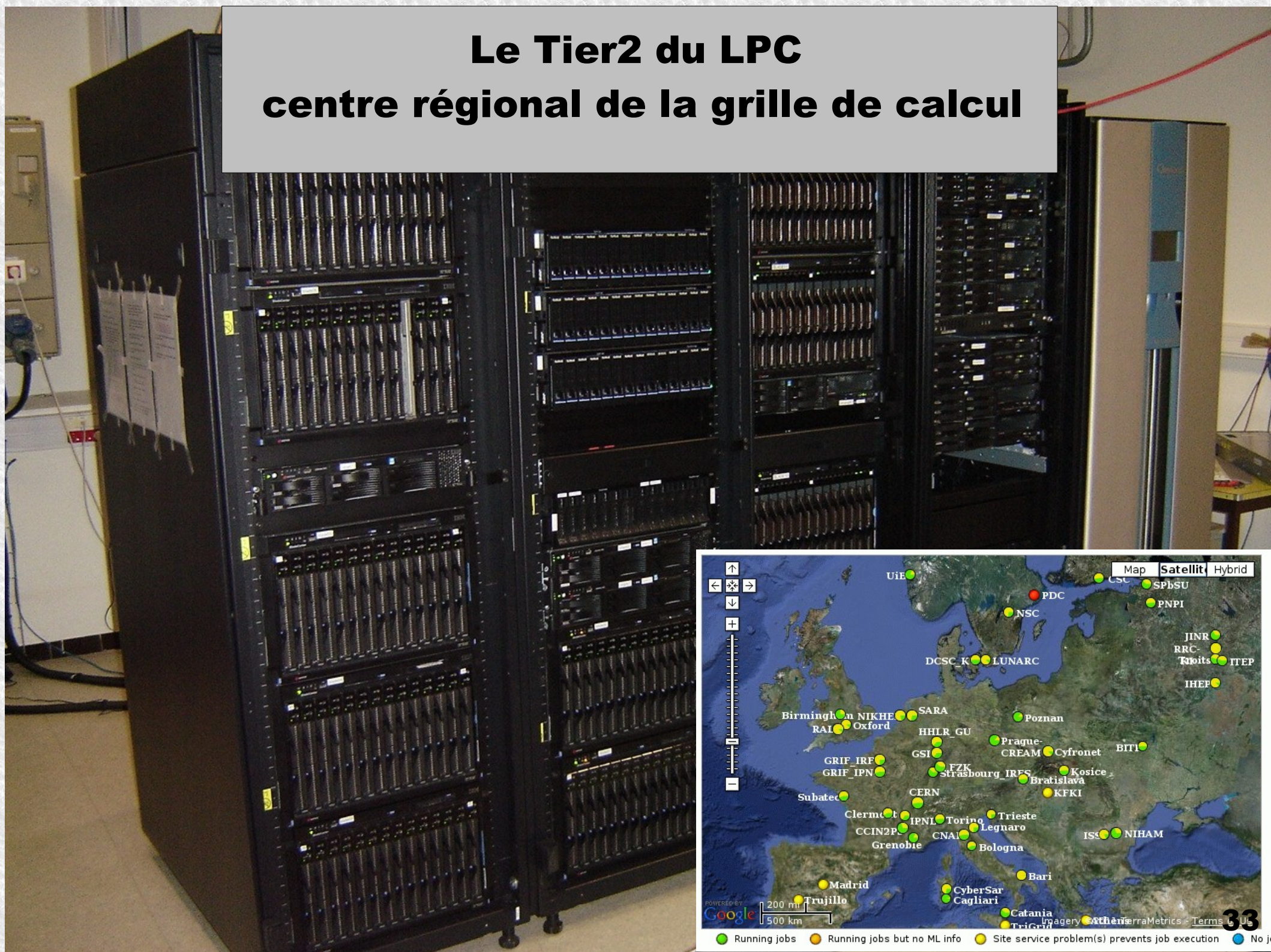
- **transfert Point2**
- **stockage, répliques**
- **catalogue (base de données)**
- **reconstruction automatique**

L'interface web vers le service de monitoring “MonALISA”



la grille de calcul – structure étagée
Tier0/1/2/3 Tier (angl.) = étage, couche, strate

Le Tier2 du LPC centre régional de la grille de calcul



Le déroulement d'une "session de travail"

en quelques étapes

Le parcours des données expérimentales



Les faisceaux de particules

LHC Page1

Fill: 2140

E: 3500 GeV

22-09-2011 16:24:46

PROTON PHYSICS: STABLE BEAMS

Energy:

3500 GeV

I(B1):

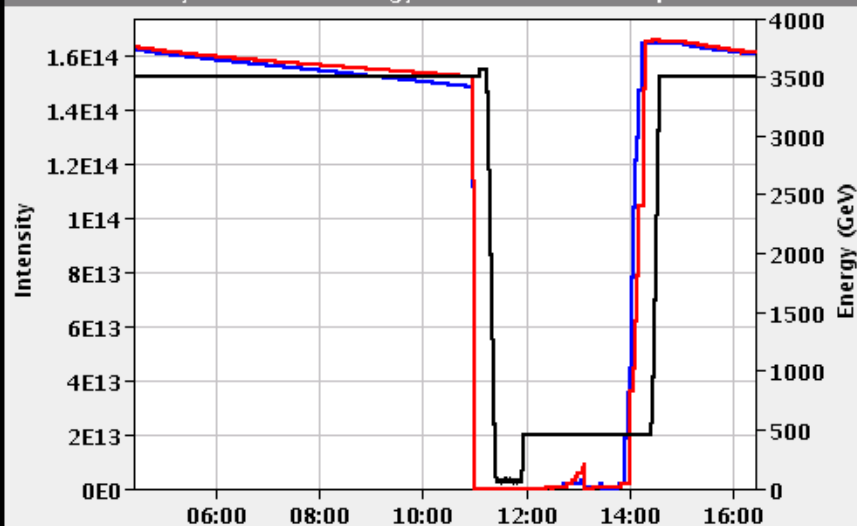
1.62e+14

I(B2):

1.63e+14

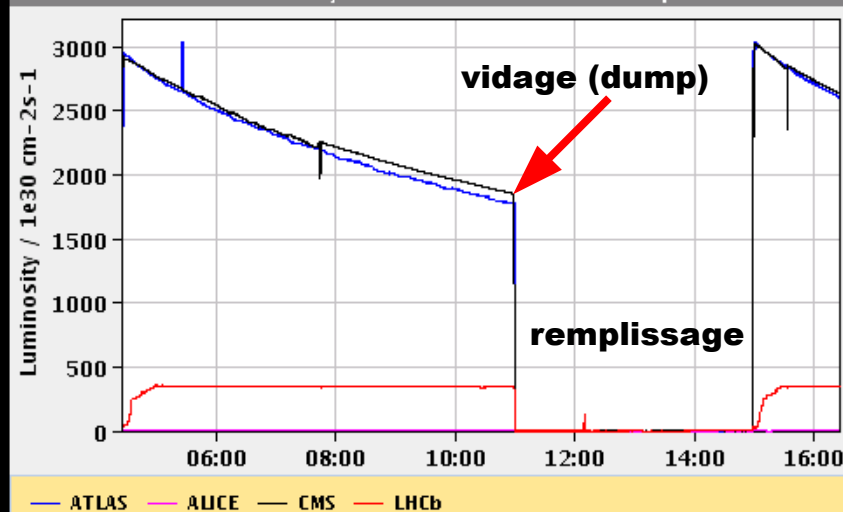
FBCT Intensity and Beam Energy

Updated: 16:24:46



Instantaneous Luminosity

Updated: 16:24:44



Comments 22-09-2011 15:34:39 :

*** STABLE BEAMS ***

BIS status and SMP flags

B1

B2

Link Status of Beam Permits

true

true

Global Beam Permit

true

true

Setup Beam

false

false

Beam Presence

true

true

Moveable Devices Allowed In

true

true

Stable Beams

true

true

AFS: 50ns_1380b+1small_1318_39_1296_144bpi

PM Status B1

ENABLED

PM Status B2

ENABLED

Le détecteur est fonctionnel...

ALICE DCS monitoring

Detector Control System

08:52:39 Thu, 01/12/2011

Magnets

Dipole	Solenoid
on	on
positive	positive
6000 A	30000 A
683 mT	452 mT

ALICE Permit

- ALICE injection safe
- Beam permit
- Injection permit 1
- Injection permit 2
- Dipole beam permit

Detectors

ACO	EMC	FMD	HMP	MCH	MTR
READY	READY	READY	READY	READY	READY
PHS	PMD	SDD	SPD	SSD	T00
READY	READY	READY	READY	READY	READY
TOF	TPC	TRD	V00	ZDC	PIT
READY	READY	READY	READY	READY	READY
TRI					
READY					

Alarms

DSS	CSAM
Ok	Ok

LHC handshake status

no handshake active

DCS on Thu 01/12/2011, 08:06

ALICE is READY. Taking DATA.

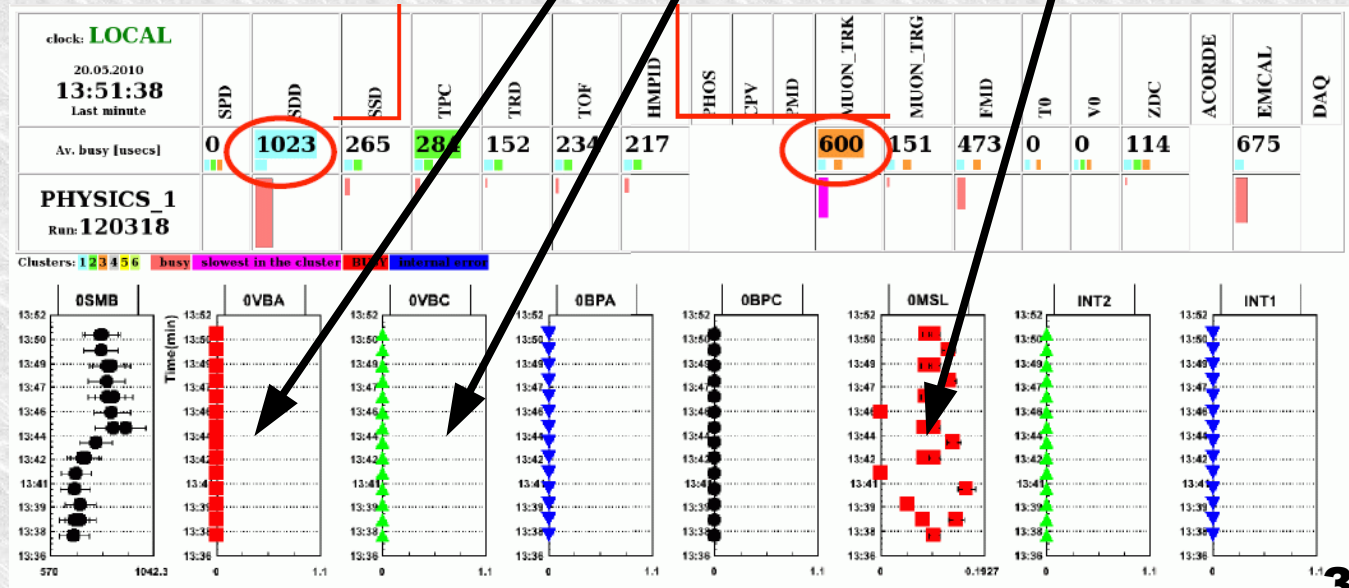
LHC on Thu 01/12/2011, 04:59

*** STABLE BEAMS ***

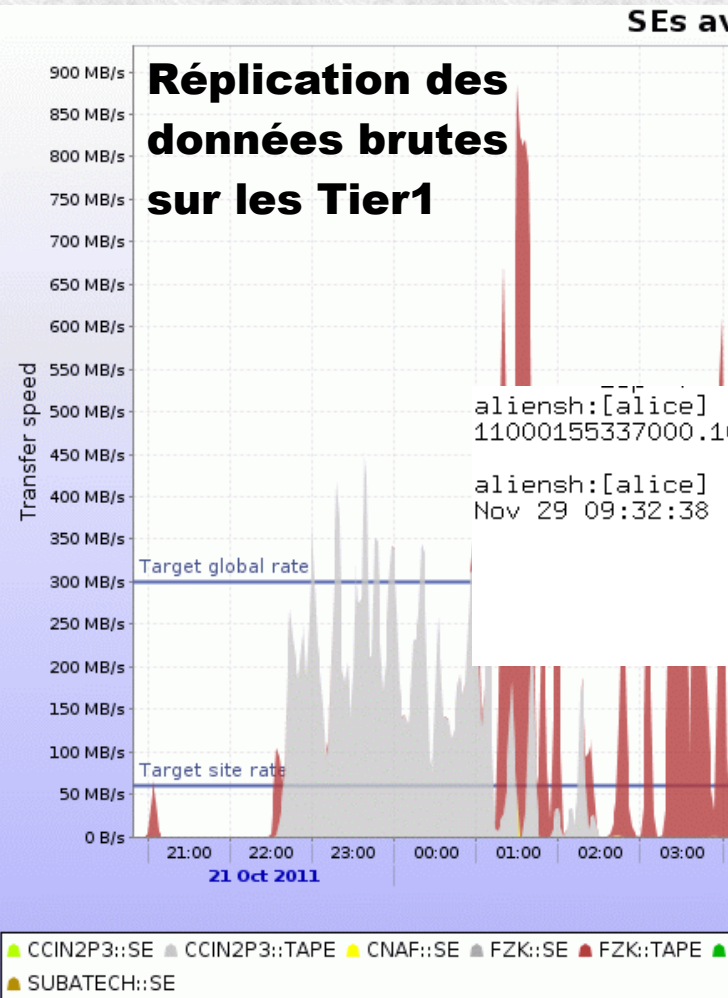
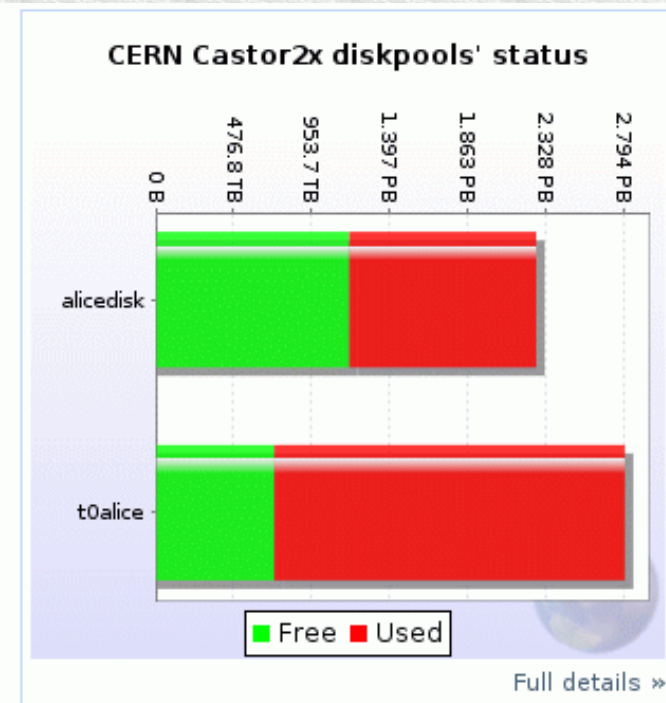
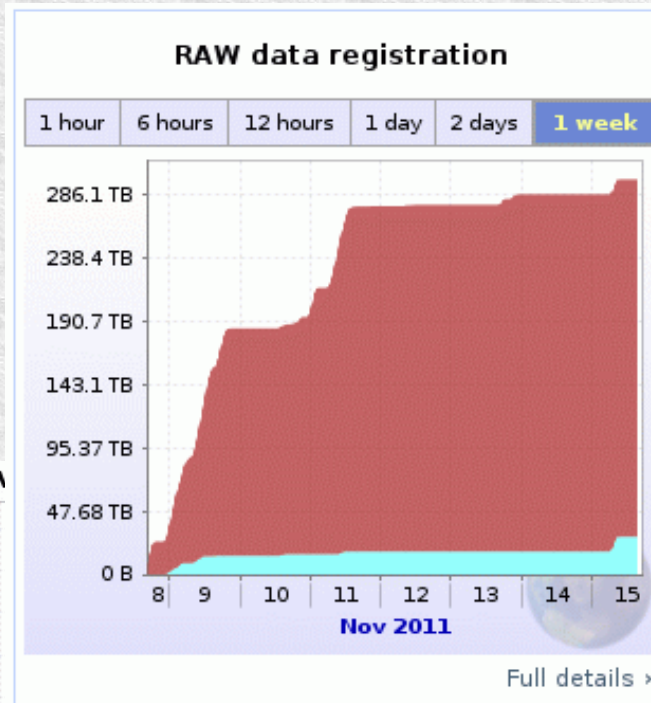
les deux faisceaux

le spectromètre à muons

...et il "voit" des collisions.



Transfert (Tier0) et enregistrement (dans le catalogue AliEn) des données brutes



Grid Unique Identifier (GUID) - 1

```
aliensh:[alice] [17] /alice/data/2011/LHC11c/000155337/raw/ >lfn2guid 11000155337000.10.root
11000155337000.10.root
F8AB68C8-A0D4-11E0-9717-2523A10ABEEF

aliensh:[alice] [18] /alice/data/2011/LHC11c/000155337/raw/ >whereis 11000155337000.10.root
Nov 29 09:32:38 info The file LHC11c/000155337/raw/11000155337000.10.root is in
SE => ALICE::CERN::CASTOR2 pfn =>root://voalice16.cern.ch//castor/cern.ch/alice/raw/
SE => ALICE::CCIN2P3::TAPE pfn =>root://ccxrtli011.in2p3.fr:1095//08/18738/F8AB68C8-
SE => ALICE::FZK::TAPE pfn =>root://alice-tape-se.gridka.de:1094//08/18738/f8ab68c8-
```

Physical File Name (PFN) - 1, 2, 3, ...

Client AliEn + certificat GRID2-FR + enregistrement VO ALICE = accès au catalogue AliEn (console shell client)

Run 155337
(p+p)
Durée = 01:53:57
~2.5 Mil evs

```
aliensh:[alice] [15] /alice/data/2011/LHC11c/000155337/raw/ >ls -l
-rwxr-xr-x alidaq alidaq 544484090 Jun 27 20:08 11000155337000.10.root
-rwxr-xr-x alidaq alidaq 535275108 Jun 27 20:09 11000155337000.11.root
-rwxr-xr-x alidaq alidaq 552910406 Jun 27 20:08 11000155337000.12.root
-rwxr-xr-x alidaq alidaq 533039470 Jun 27 20:09 11000155337000.13.root
-rwxr-xr-x alidaq alidaq 539852908 Jun 27 20:09 11000155337000.14.root
-rwxr-xr-x alidaq alidaq 538900107 Jun 27 20:09 11000155337000.15.root
-rwxr-xr-x alidaq alidaq 512745815 Jun 27 20:09 11000155337000.20.root
-rwxr-xr-x alidaq alidaq 507614735 Jun 27 20:09 11000155337000.21.root
-rwxr-xr-x alidaq alidaq 522604072 Jun 27 20:09 11000155337000.22.root
```

**données
brutes
426 fichiers
~150 Go**

RAW Production Cycles

Filters ☐	Chunks		Events (reco)	AliEn job		QA	Software versions		Partition	Pass	Output dir	Comment
	OK/All	%		Job ID	Err		ROOT	ALIROOT				
155384	232 / 450	51.6%	1,588,699	104348959	✓	v5-28-00d	v4-20-Rev-30	LHC11c	1	/alice/data/2011/LHC11c/000155384/ESDs/pass1	7000 GeV (- -)	
155367	148 / 150	98.7%	367,671	104349615	✓	v5-28-00d	v4-20-Rev-30	LHC11c	1	/alice/data/2011/LHC11c/000155367/ESDs/pass1	7000 GeV (- -)	
155365	514 / 600	85.7%	3,940,195	104349873	✓	v5-28-00d	v4-20-Rev-30	LHC11c	1	/alice/data/2011/LHC11c/000155365/ESDs/pass1	7000 GeV (- -)	
155337	420 / 426	98.6%	2,478,908	104615841	✓	v5-28-00d	v4-20-Rev-30	LHC11c	1	/alice/data/2011/LHC11c/000155337/ESDs/pass1	7000 GeV (- -)	
154930	146 / 150	97.3%	197,743	104695554	✓	v5-28-00d	v4-20-Rev-30	LHC11c	1	/alice/data/2011/LHC11c/000154930/ESDs/pass1	Cosmics (- -)	

```
aliensh:[alice] [36] /alice/data/2011/LHC11c/000155337/ESDs/pass1/11000155337000.10/ >ls -l
-rwxr-xr-x alidaq alidaq 1238170 Jul 01 02:20 AliESDfriends.root
-rwxr-xr-x alidaq alidaq 187233811 Jul 01 02:20 AliESDs.root
-rwxr-xr-x alidaq alidaq 800146 Jul 01 02:20 log_archive
-rwxr-xr-x alidaq alidaq 1546560 Jul 01 02:20 Merged.QA.Data.root
-rwxr-xr-x alidaq alidaq 15185 Jul 01 02:20 Run155337.Event0_8400.ESD.tag.root
-rwxr-xr-x alidaq alidaq 190034218 Jul 01 02:20 root_archive.zip
-rwxr-xr-x alidaq alidaq 131 Jul 01 02:20 stderr.log
-rwxr-xr-x alidaq alidaq 37238761 Jul 01 02:20 stdout.log
-rwxr-xr-x alidaq alidaq 13041 Jul 01 02:20 tag.log
```

**Reconstruction
Pass1 = ~50 Go
(ESD – données
sommaire “Event
Summary Data”)**

Répliques: ALICE::Subatech::SE , ALICE::Madrid::SE

Filtrage(s) final(s) sur les données sommaires (ESD)

Production details: FILTER_p-p_059_LHC11c: No tender, default train

Job info		Events				Software versions			
PID	Run no.	Input	Processed	%	Filtered	ROOT	AliROOT	Output directory	%
105447373	155337	2,478,908	2,472,283	99.73%	1,788,976	v5-28-00-1	v4-21-28-AN	/alice/data/2011/LHC11c/000155337/ESDs/pass1/AOD059	100%

1.7 Mil evs (sur 2.5 au départ)

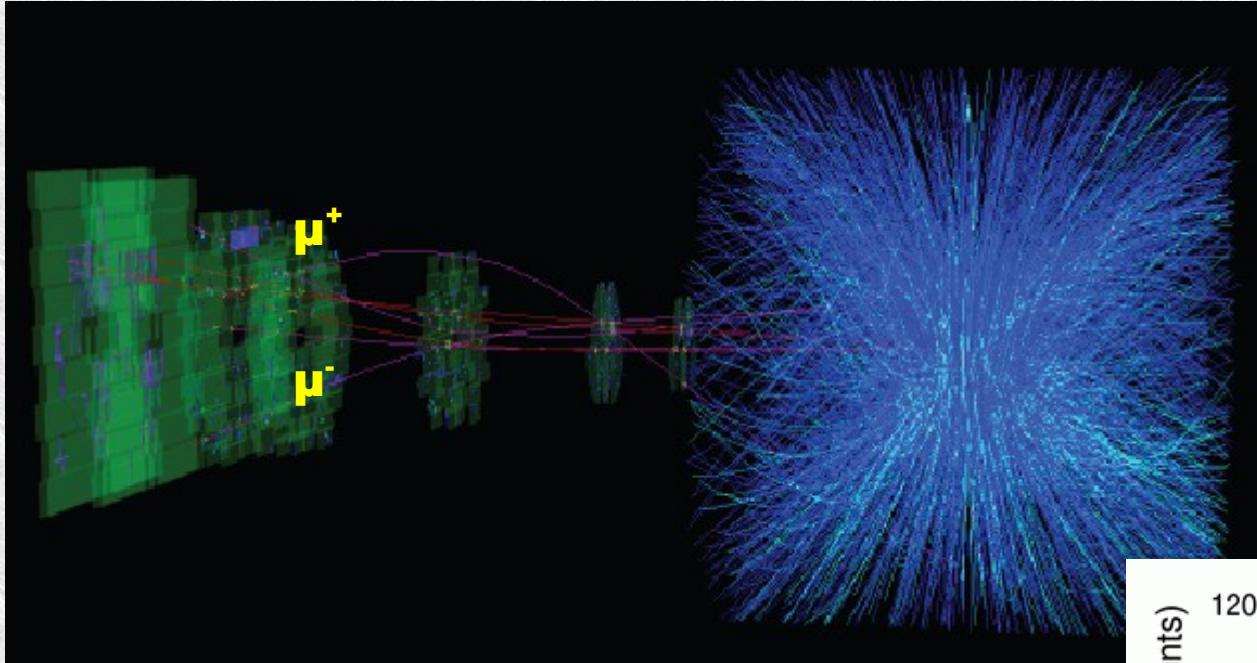
```
aliensh:[alice] [62] /alice/data/2011/LHC11c/000155337/ESDs/pass1/AOD059/0001/ >ls -l
-rwxr-xr-x  alidaq  alidaq          3899 Jul 06 01:17 33531_33531_0_24324.stat
-rwxr-xr-x  alidaq  alidaq         34167 Jul 06 01:17 AliAOD.Dielectron.root
-rwxr-xr-x  alidaq  alidaq        887152 Jul 06 01:17 AliAOD.Jets.root
-rwxr-xr-x  alidaq  alidaq       5328812 Jul 06 01:17 AliAOD.Muons.root
-rwxr-xr-x  alidaq  alidaq      29520454 Jul 06 01:17 AliAOD.root
-rwxr-xr-x  alidaq  alidaq       5152756 Jul 06 01:17 AliAOD.VertexingHF.root
-rwxr-xr-x  alidaq  alidaq         1284 Jul 06 01:17 AnalysisResults.root
-rwxr-xr-x  alidaq  alidaq       774066 Jul 06 01:17 EventStat_temp.root
-rwxr-xr-x  alidaq  alidaq        75354 Jul 06 01:17 PWG3histograms.root
-rwxr-xr-x  alidaq  alidaq       519414 Jul 06 01:17 PWG4histograms.root
-rwxr-xr-x  alidaq  alidaq      42298520 Jul 06 01:17 root_archive.zip
```

AOD – données objet d'analyse “Analysis Object Data”
~2.8 Go

Répliques: KISTI, LLNL, Hiroshima, Kosice

- analyse orientée – AOD général, Dielectron, Jets, Muon, etc.
- groupes de travail: PWG2, **PWG3**, PWG4 (Physics Working Group)
- l'équipe ALICE du LPC membre du groupe **PWG3** “saveurs lourdes”
- données “légères” sur les ressources locales de l'utilisateur

L'information utile, la physique



Identification et mesure des particules:

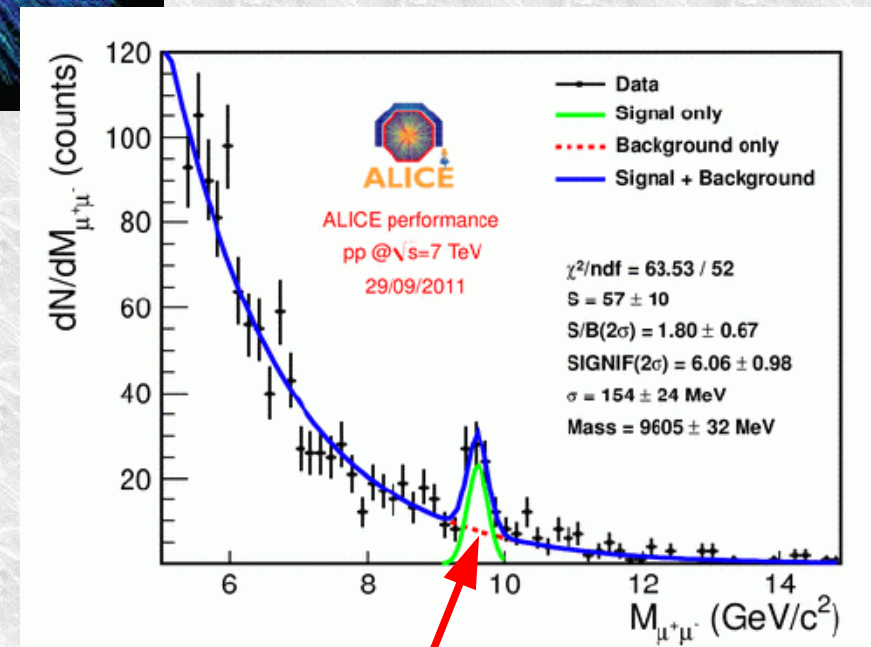
**1 muon positif +
1 muon négatif**

Énergie: p_1 , p_2

Direction de déplacement: (η_1, ϕ_1)
 (η_2, ϕ_2)

Combinaison: masse invariante

$$M_{inv}^2 = 2 \cdot p_{T1} \cdot p_{T2} \cdot [\cosh(\eta_1 - \eta_2) - \cosh(\phi_1 - \phi_2)]$$



X.Lopez

manifestation de l'interaction forte entre deux quarks

La calibration du détecteur

- les paramètres de fonctionnement (...vieillessement du détecteur)
- variations enregistrées pas plus souvent que par “run” (max. quelques heures)
= période continue d'acquisition (START-STOP)

Exemple: “LocalTriggerBoardMasks”

- voies d'électronique en panne ou bruyantes éliminées dans la reconstruction du signal (on utilise des impulsions de calibration pour les identifier)

```
aliensh:[alice] [69] /alice/data/2011/OCDB/MUON/Calib/LocalTriggerBoardMasks/ >ls -l
-rwxr-xr-x  alidaq  alidaq      4254 Apr 26 12:04  Run0_999999999_v1_s0.root
-rwxr-xr-x  alidaq  alidaq      4278 Apr 26 12:04  Run141993_999999999_v2_s0.root
-rwxr-xr-x  alidaq  alidaq      3814 Apr 26 12:04  Run142641_999999999_v3_s0.root
-rwxr-xr-x  alidaq  alidaq      4039 Apr 26 12:04  Run142642_999999999_v4_s0.root
-rwxr-xr-x  alidaq  alidaq      4222 Apr 26 12:04  Run142656_999999999_v5_s0.root
-rwxr-xr-x  alidaq  alidaq      4223 Apr 26 12:04  Run143847_999999999_v6_s0.root
-rwxr-xr-x  alidaq  alidaq      4233 Apr 26 12:04  Run146205_999999999_v7_s0.root
-rwxr-xr-x  alidaq  alidaq      4223 Apr 26 12:04  Run146228_999999999_v8_s0.root
-rwxr-xr-x  alidaq  alidaq      4223 Apr 26 12:04  Run148573_999999999_v9_s0.root
-rwxr-xr-x  alidaq  alidaq      4229 May 13 07:06  Run151303_999999999_v10_s0.root
-rwxr-xr-x  alidaq  alidaq      4237 May 13 07:21  Run151305_999999999_v11_s0.root
-rwxr-xr-x  alidaq  alidaq      4233 May 13 10:41  Run151314_999999999_v12_s0.root
-rwxr-xr-x  alidaq  alidaq      4237 Aug 21 16:33  Run159554_999999999_v13_s0.root
-rwxr-xr-x  alidaq  alidaq      4240 Oct 11 21:05  Run163498_999999999_v14_s0.root
-rwxr-xr-x  alidaq  alidaq      4241 Oct 13 17:32  Run163739_999999999_v15_s0.root
```

Run 155337: ce paramètre a été modifié après le run 151314 et il reste inchangé jusqu'au run 159554

Le registre central de “comptabilité”

ALICE Electronic Logbook v1.64

 Bogdan Vulpescu [\[Logout\]](#)

 Logbook  Runs  Fills  Admin  Links

Run Quick Access: Fill Quick Access:

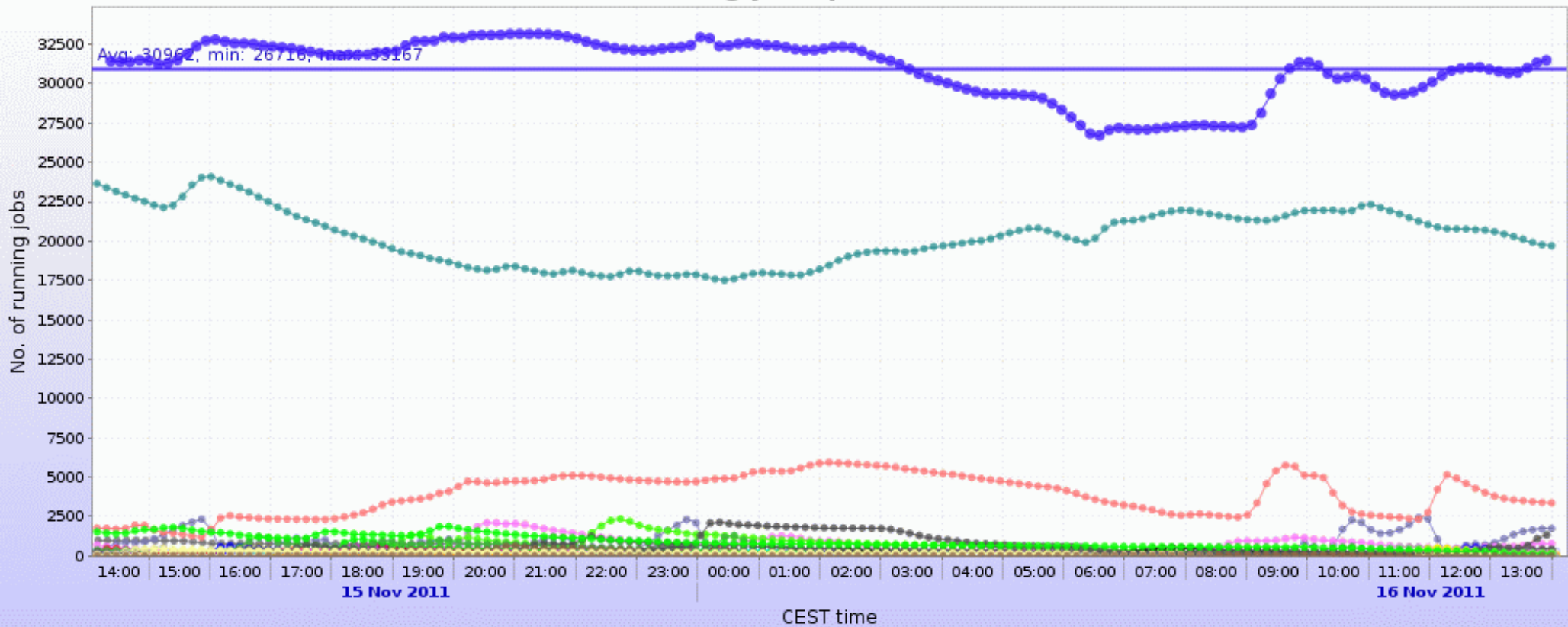
Page Browsing 1-20 of 6389 (Page <input type="text" value="1"/> of 320)  	Runs filters Local filters  Beam: Yes  	Run Quick Access <input type="text"/>  	<input type="button" value="Export..."/> <input type="button" value="Fields..."/>
---	---	---	---

[Statistics](#) | [Detectors](#) | [Trigger Clusters](#) | [Trigger Classes](#) | [HLT](#) | [Quality Flags](#) | [Shuttle](#) | [Beam Conditions](#) | [Overview](#)

													
Beam	Run ▼	DAQ Start Time	Duration	# of LDCs	# of GDCs	# of Detectors	Partition	Total Events	Event Rate			Run Type	
 		167988	15/11/2011 23:19:42	42 m 	174 	77 	17 	PHYSICS_1	488 487	194.77	PHYSICS	C	-30
 		167987	15/11/2011 21:49:06	1 h 	174 	77 	17 	PHYSICS_1	944 268	196.27	PHYSICS	C	-30
 		167986	15/11/2011 21:11:10	30 m 	177 	78 	18 	PHYSICS_1	192 428	108.59	PHYSICS	C	-30
 		167985	15/11/2011 20:15:36	44 m 	176 	77 	17 	PHYSICS_1	297 158	112.09	PHYSICS	C	-30
 		167984	15/11/2011 20:07:28	1 m 	1 	1 	1 	PMD	73 085	1 015.07	STANDALONE	A	-30
 		167983	15/11/2011 20:06:05	2 m 	176 	77 	17 	PHYSICS_1	650	6.31	PHYSICS	C	-30
 		167982	15/11/2011 19:57:36	2 m 	177 	78 	18 	PHYSICS_1	884	8.11	PHYSICS	C	-30

Le suivi de l'activité offline sur la grille de calcul

Running jobs per user

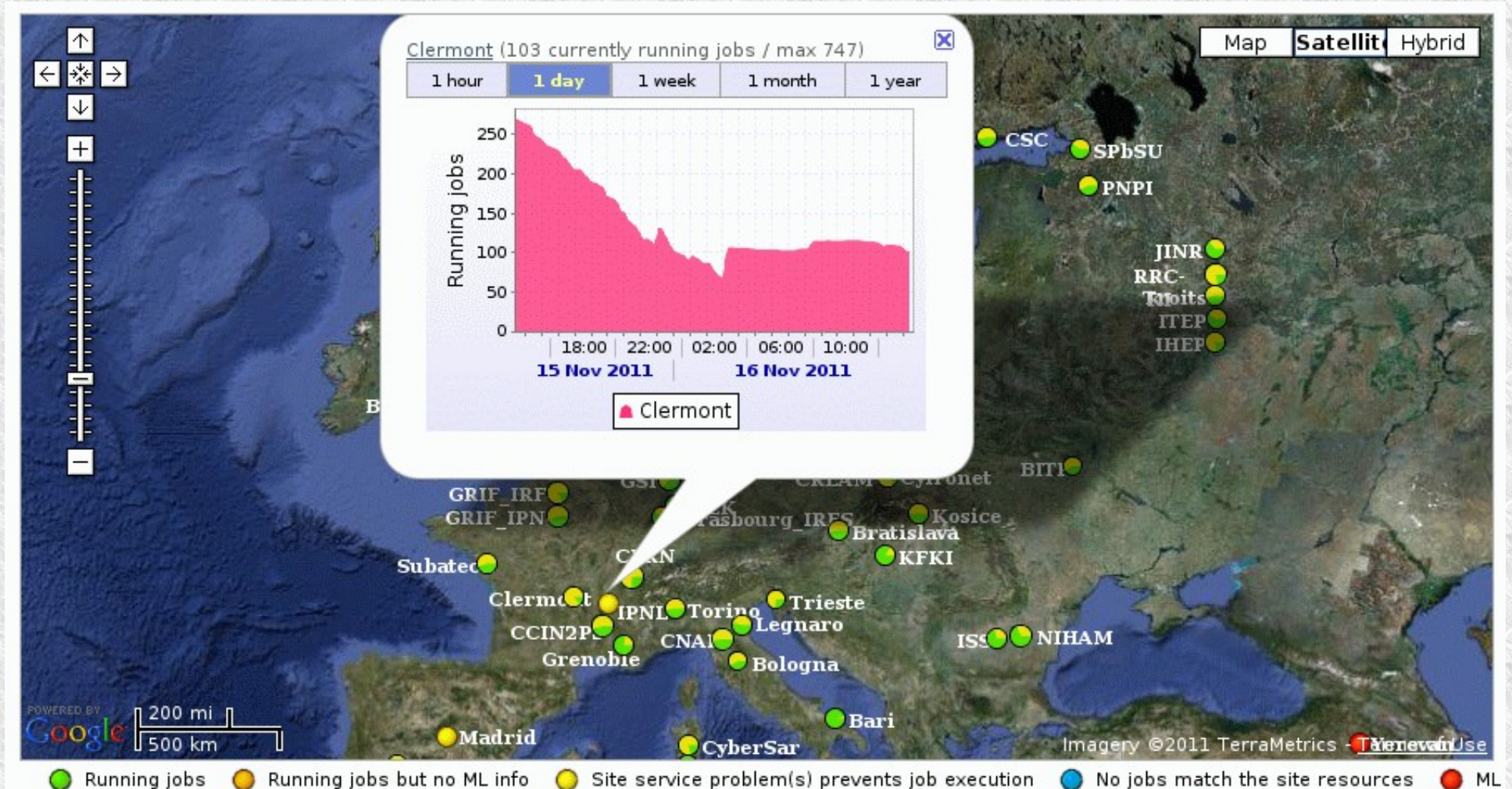


- aalici — abilanz — aborisso — adobrin — agrelli — aherghel — alidaq — aliproduct — alla — anyatha — arossi — bedanga — bndandi — bogdal — candrei
- cmayer — cnatras — csoegaar — cterrevo — das — ddegrutt — ddoibrigk — decaro — dperrino — dsakata — dstocco — dwatanab — ecasula
- eincani — esicking — fblanco — fcolamar — frprino — gconesab — gkoyitha — gortona — gsimatov — guernane — hansena — hongyan — janielsk
- jgramlin — jiluo — jmidori — jsalwede — kowal2 — lbarnby — lgraczyk — lmanceau — lmilano — lmolnar — loizides — lvalenci — majanik — maszyman
- mazimmer — mbroz — mcosenti — minkim — miweber — msicilia — msteinpr — paganop — pganoti — pgonzale — pkalinak — pkurash — plpetrov
- rbalala — rbertens — rderooij — rgrosso — rma — rpreghen — rsarneck — rsingh — rsultano — rvernet — sbjelogr — sde — seoclara — sfoertsc
- skubota — spahulah — syano — tgunji — unknown — venaruzz — veral — vriabov — xizhu — xyuan — yhori — yozhou — yryabov — zconesa — zhuj
- SUM

MonALISA

monitoring agents using a large
integrated services architecture

<http://alimonitor.cern.ch>



MonALISA information Version: 1.9.6 (JDK 1.6.0_24) **Service health** NTP: **UNSYNC**, offset: -0.002s
 Running on: clrvoboxalicce1.in2p3.fr
 Administrator: Jean-Claude Chevalleyre <Jean-Claude.Chevalleyre@clermont.in2p3.fr>

Services status ClusterMonitor: **OK** **Proxies status** AliEn proxy: **OK** (9:25) **SAM tests** Delegated proxy duration: n/a
 AliEn: v2-19.133 PackMan: **OK** Delegated proxy: **OK** (9:34) Proxy of the machine: n/a
 CE: **OK** Proxy server: **OK** (9:34) Proxy renewal: n/a
 CE info: **At the moment we are busy (we ...)** Proxy of the machine: **OK** (18:13) Proxy server registration: n/a
 Max running jobs: 800 RB status: n/a
 Max queued jobs: 50 Software area: n/a
 User proxy registration: n/a
 WMS stats: n/a

Current jobs status Assigned: 0 **Accounting** (last 24h) Success jobs: **539** (profile) **Site averages** (last 24h) Active nodes: 83.58
 Running: **103** Failed jobs: **0** Average kSI2k/node: 1.509
 Saving: 0 Error jobs: **125** kSI2k units: **205** / 654 pledged

Storages status

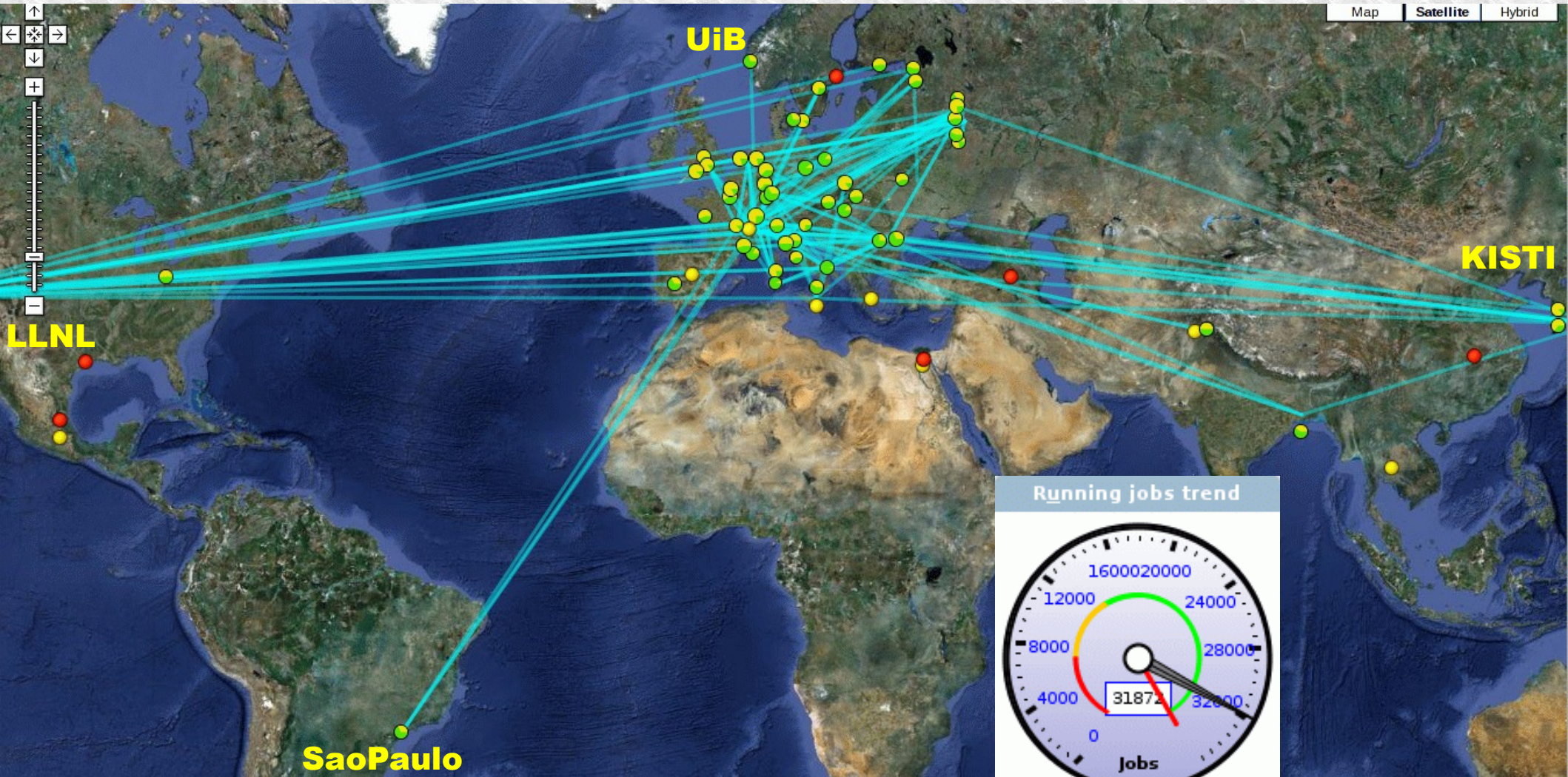
Name	Status	Size	Used	Free	Usage	No of files	Type	ADD test
ALICE::Clermont::SE	OK	179.9 TB	101.8%	-	183.2 TB	3.973 M	File	FAIL

VoBox health CPUs: 4x 3200MHz **CPU usage** (last 1h avg) Load: **0.111**
 Mem usage: 66.2% of 1.964 GB User: 1.492% Int: 0.015%
 Processes: 149 System: 0.479% Soft int: 0.08%
 Sockets: 38 TCP / 23 UDP IOWait: 0.018% Nice: 0%
 Uptime: 72 days, 07:20 Idle: 97.92% Steal: 0%

AliEn LDAP var	VoBox path	Size	Used	Free	Use%
TMP	/home/alicesgm/ALICE/tmp	137.4 GB	33.36 GB	96.98 GB	26%
LOG	/home/alicesgm/alien-logs	137.4 GB	33.36 GB	96.98 GB	26%
CACHE	/home/alicesgm/ALICE/cache	137.4 GB	33.36 GB	96.98 GB	26%

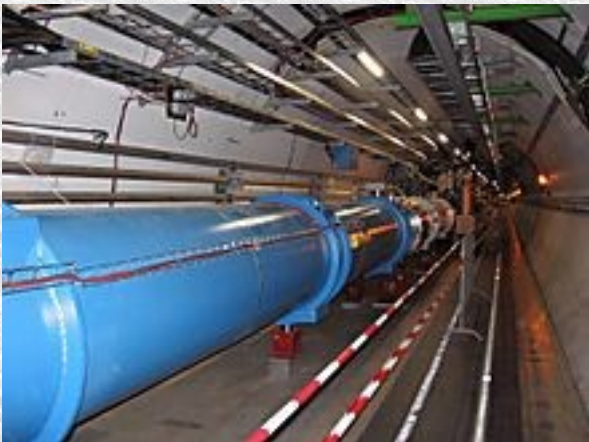
Le monde de ALICE vu par MonALISA

en bleu: transfert XRootD

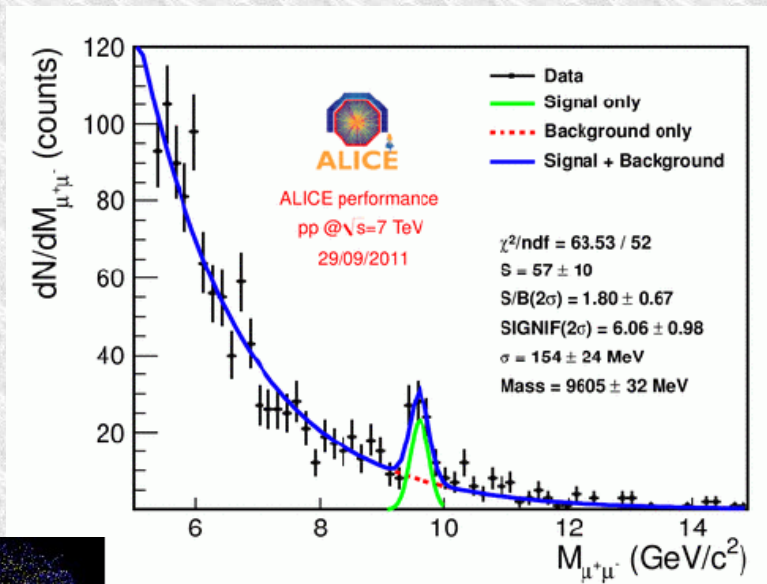


Conclusion

LHC@CERN



Analyse finale et résultats



X.Lopez

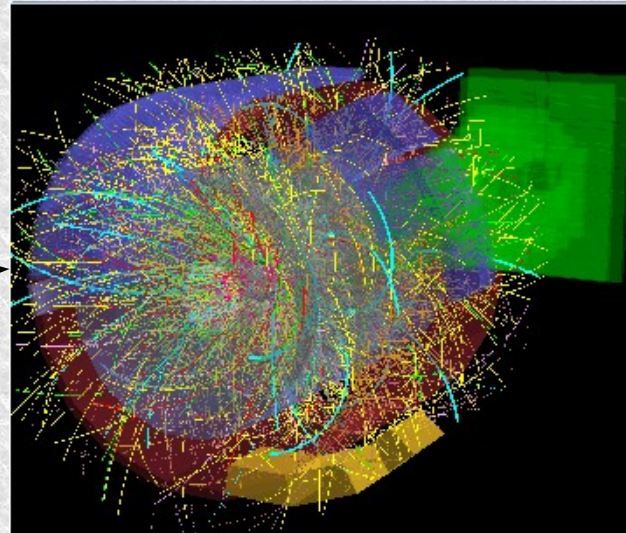
Tier2@LPC



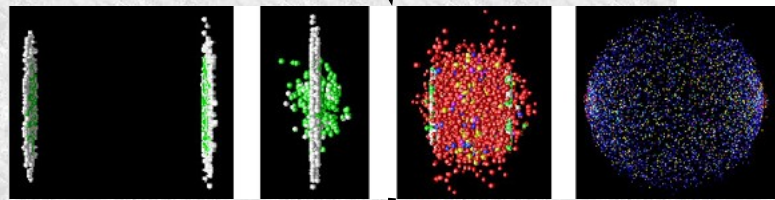
Tier2+Tier1 AliEn



“Event display”



Pb+Pb



ALICE



Tier0@CERN

